



REGIONE DEL VENETO



PROGETTO FINANZIATO
DALL'UNIONE EUROPEA



ACCORDO QUADRO PER L'AFFIDAMENTO DI LAVORI (OG1-OG11) E SERVIZI DI INGEGNERIA E ARCHITETTURA (E.20 - E.13 - IA.02 - IA.04) PER LA RISTRUTTURAZIONE, LA MANUTENZIONE E LA RIQUALIFICAZIONE ECOSOSTENIBILE DI STRUTTURE EDILIZIE PUBBLICHE ESISTENTI

SUB-LOTTO PRESTAZIONALE 1 - SERVIZI TECNICI - LOTTO GEOGRAFICO 2 (VE-BO-FI)

CIG DELL'ACCORDO QUADRO: 9424614D7F

REGIONE VENETO

CUP DELL'INTERVENTO: **F85B22000010003** CIG DEL CONTRATTO SPECIFICO: 9424614D7F

PROGETTO DEFINITIVO-ESECUTIVO



GRUPPO DI PROGETTAZIONE:

mandataria: **RPA S.r.l.**



Ing. V. Valentini
Geol. S. Piazzoli
Ing. M. Procacci
Ing. M.G. Sorci
Ing. M. Vescarelli

mandante: **ETS S.p.A.**



Ing. G. Parietti
Ing. D. Romano
Ing. V. Guerini
Arch. N. Romano
Ing. E. Facchinetti

mandante: **SM&A**



Ing. M. Muzi
Ing. L. Muzi

COMMITTENZA: COMUNE DI MUSILE DI PIAVE

Città Metropolitana di Venezia

AREA TECNICA - Unità Operativa Lavori Pubblici e Manutenzioni

Piazza XVIII Giugno, 1 - 30024 - Musile di Piave(VE)

Responsabile Unico del Procedimento: Arch. Massimo Paschetto

ELABORATO : Relazione tecnica sul consumo energetico

Blocco Sala Polivalente

REV	DATA	DESCRIZIONE	REDATTO	VERIFICATO	APPROVATO
01	20/06/2023	REVISIONE PER VALIDAZIONE	Ing. E. Facchinetti	Ing. E. Facchinetti	Ing. V. Valentini
00	06/06/2023	EMISSIONE	Ing. E. Facchinetti	Ing. E. Facchinetti	Ing. V. Valentini

IDENTIFICATIVO ELABORATO

004G-0073-23-PE-00

IDENTIFICATIVO INTERVENTO

Ampliamento degli impianti sportivi di via Argine San Marco
Finalizzato al miglioramento dell'aggregazione e offerta formativa

SCALA

INDICE

1	OGGETTO DELLA RELAZIONE	3
2	RELAZIONE TECNICA.....	4
3	RELAZIONE TECNICA.....	27

1 OGGETTO DELLA RELAZIONE

Il presente documento, allegato alla documentazione del Progetto Definitivo-Esecutivo, ha per oggetto la relazione tecnica sul consumo energetico attestante la rispondenza alle prescrizioni in materia di contenimento del consumo energetico del blocco prefabbricato Sala polivalente presso il Centro Sportivo Polivalente da realizzarsi nel Comune di Musile di Piave via Argine San marco.

L'edificio oggetto dell'intervento rientra nell'obbligo normativo del rispetto della normativa D.lgs 199/21 che impone la copertura percentuale sull'utilizzo di energia da fonti rinnovabili. Nella presente relazione vengono descritte le caratteristiche tecniche degli interventi migliorativi che hanno portato alla verifica positiva dei limiti di legge.

2 RELAZIONE TECNICA

Comune di Musile di Piave- (VE)

RELAZIONE TECNICA

Attestante la rispondenza alle prescrizioni in materia di contenimento del consumo energetico degli edifici

EDIFICIO	Via Argine S. Marco Inferiore - Musile di Piave (VE)
PROGETTISTA	
DATA	20/06/2023
	Firma: _____

Egregio Signor Sindaco del comune di Musile di Piave, (VE)

e per conoscenza all'Ufficio Tecnico del comune di Musile di Piave, (VE)

**RELAZIONE TECNICA DI CUI AL COMMA 1 DELL'ARTICOLO 8 DEL DECRETO
LEGISLATIVO 19 AGOSTO 2005, N. 192, ATTESTANTE LA RISPONDENZA ALLE
PRESCRIZIONI IN MATERIA DI CONTENIMENTO DEL CONSUMO ENERGETICO
DEGLI EDIFICI**

Nuove costruzioni, ristrutturazioni importanti di primo livello, edifici ad energia quasi zero

Un edificio esistente è sottoposto a ristrutturazione importante di primo livello quando l'intervento ricade nelle tipologie indicate al paragrafo 1.4.1, comma 3, lettera a) dell'Allegato 1 del decreto di cui all'articolo 4, comma 1 del decreto legislativo 192/2005.

Il seguente schema di relazione tecnica contiene le informazioni minime necessarie per accertare l'osservanza delle norme vigenti da parte degli organismi pubblici competenti. Lo schema di relazione tecnica si riferisce all'applicazione integrale del decreto legislativo 192/2005.

1 INFORMAZIONI GENERALI

Comune di Musile di Piave

Provincia VE

Progetto per la realizzazione di

Committente	Comune di Musile di Piave
Progettista degli impianti termici	Ing. Enrico Facchinetti
Progettista dell'isolamento termico dell'edificio	Arch. Nino Romano Claudio
Progettista del sistema di ricambio dell'aria dell'edificio	Ing. Enrico Facchinetti
Direttore dei lavori per l'isolamento termico dell'edificio	Arch. Valentina Guerini
Direttore dei lavori per la realizzazione degli impianti termici	Arch. Valentina Guerini
Direttore dei lavori del sistema di ricambio dell'aria dell'edificio	Arch. Valentina Guerini
Progettista dei sistemi di illuminazione dell'edificio	
Direttore dei lavori dei sistemi di illuminazione dell'edificio	
Tecnico incaricato per la redazione dell'APE	Parietti Ing. Giambattista

2 FATTORI TIPOLOGICI DELL'EDIFICIO (o del complesso di edifici)

Gli elementi tipologici da fornire, al solo scopo di supportare la presente relazione tecnica, sono i primi tre allegati obbligatori di cui al punto 8 della presente relazione.

3 PARAMETRI CLIMATICI DELLA LOCALITÀ

Gradi giorno (della zona d'insediamento, determinati in base al DPR 2348 GG 412/93)

Temperatura minima di progetto (dell'aria esterna norma UNI 5364 268,1 K e succ agg.)

Temperatura massima estiva di progetto dell'aria esterna secondo 304,1 K
norma

4 DATI TECNICI E COSTRUTTIVI DELL'EDIFICIO (O DEL COMPLESSO DI EDIFICI) E DELLE RELATIVE STRUTTURE

Climatizzazione invernale

Unità immobiliare	S [m^2]	V [m^3]	S/V	Su [m^2]
Sala polivalente	385,40	341,19	1,13	100,11

S Superficie disperdente che delimita il volume climatizzato

V Volume delle parti di edificio climatizzate al lordo delle strutture che li delimitano

S/V rapporto tra superficie disperdente e volume lordi o fattore di forma dell'edificio

Su superficie utile climatizzata dell'edificio

Unità immobiliare	Zona climatizzata	T _{inv} [°C]	φ _{inv} [%]
Sala polivalente	Sala polivalente	20,0	50

T_{inv} Valore di progetto della temperatura interna invernale

φ_{inv} valore di progetto dell'umidità relativa interna per la climatizzazione invernale

Unità immobiliare	Metodo contabilizzazione
Sala polivalente	Non contabilizzato

Climatizzazione estiva

Unità immobiliare	S [m^2]	V [m^3]	Su [m^2]
Sala polivalente	385,40	341,19	100,11

S Superficie disperdente che delimita il volume climatizzato

V Volume delle parti di edificio climatizzate al lordo delle strutture che li delimitano

Su Superficie utile climatizzata dell'edificio

Unità immobiliare	Zona climatizzata	Test [°C]	ϕ_{est} [%]
Sala polivalente	Sala polivalente	26,0	50

Test Valore di progetto della temperatura interna estiva

ϕ_{est} Valore di progetto dell'umidità relativa interna estiva

Unità immobiliare	Metodo
Sala polivalente	Non contabilizzato

Informazioni generali e prescrizioni

Presenza di reti di teleriscaldamento/raffreddamento a meno di Sì No
1000 m

Se "sì" descrivere le opere edili ed impiantistiche previste necessarie al collegamento alle reti. Se non sono state predisposte opere inserire la motivazione:

Livello di automazione per il controllo, la regolazione e la gestione delle tecnologie dell'edificio e degli impianti termici (BACS), classe (min = classe B norma UNI EN 15232):

B

Adozione di materiali ad elevata riflettanza solare per le Sì No
coperture:

Se "sì" descrizione e caratteristiche principali:

Pannello sandwich di colore bianco ad alto indice di riflettanza maggiore di 0,65

Valore di riflettanza solare 0,7 > 0,65 per coperture piane

Valore di riflettanza solare 0 > 0.30 per coperture a falda

Se "no" riportare le ragioni tecnico-economiche che hanno portato al non utilizzo dei materiali riflettenti

Adozione di tecnologie di climatizzazione passiva per le [] Si [x] No
coperture

Se "no" riportare le ragioni tecnico-economiche che hanno portato al non utilizzo:
Copertura piana idonea all'alloggiamento impianto fotovoltaico

Adozione di misuratori d'energia (Energy [] Si [x] No
Meter)

Se "sì" descrizione e caratteristiche principali
Monitoraggio dei dati di produzione fotovoltaica e dei consumi elettrici.

Adozione di sistemi di contabilizzazione diretta del [x] Si [] No
calore

Adozione di sistemi di contabilizzazione diretta del [x] Si [] No
freddo

Adozione di sistemi di contabilizzazione diretta [x] Si [] No
dell'ACS

Se "no" riportare le ragioni tecnico-economiche che hanno portato al non utilizzo e definire quale sistema di contabilizzazione è stato utilizzato:

Impianto di climatizzazione e ACS in pompa di calore collegato ad impianto fotovoltaico.

Utilizzazione di fonti di energia rinnovabili per la copertura dei consumi di calore, di elettricità e per il raffrescamento secondo i principi minimi di integrazione, le modalità e le decorrenze di cui all'allegato 3, del decreto legislativo 199/2021.

Produzione di energia termica

Indicare la % di copertura tramite il ricorso ad energia prodotta da impianti alimentati da fonti rinnovabili, dei consumi previsti per:

Acqua Calda 94,6 %

Sanitaria

Climatizzazione invernale, Acqua Calda Sanitaria, 94,3 %

Climatizzazione estiva

Produzione di energia elettrica

Indicare la potenza elettrica degli impianti alimentati da fonti rinnovabili:

Superficie in pianta dell'edificio a livello del 115,90 m²

terreno S

Potenza Elettrica 6,48 kW

Descrizione e potenza degli impianti alimentati da fonti rinnovabili:

Adozione sistemi di regolazione automatica della temperatura ambiente singoli locali o nelle zone termiche servite da impianti di climatizzazione invernale

Si No

Adozione sistemi di compensazione climatica nella regolazione automatica della temperatura ambiente singoli locali o nelle zone termiche servite da impianti di climatizzazione invernale:

Si No

Se "no" documentare le ragioni tecniche che hanno portato alla non utilizzazione

Valutazione sull'efficacia dei sistemi schermanti delle superfici vetrate sia esterni che interni presenti:

vedi allegati alla relazione tecnica

Verifiche di cui alla lettera b) del punto 3.3.4 del decreto di cui all'articolo 4, comma 1 del decreto legislativo 192/2005

Tutte le pareti opache verticali ad eccezione di quelle comprese nel quadrante nord-ovest/nord/nord-est:

Valore di Massa superficiale

Elemento edilizio	M Sup [kg/m ²]	Limite [kg/m ²]	Verifica
-	-	-	-

Valore del modulo della trasmittanza termica periodica YIE

Elemento edilizio	YIE [W/m ² K]	Limite [W/m ² K]	Verifica
-	-	-	-

Verifiche di cui alla lettera c) del punto 3.3.4 del decreto di cui all'articolo 4, comma 1 del decreto legislativo 192/2005

I valori di massa superficiale o trasmittanza termica periodica delle pareti e coperture opache permettono di contenere le oscillazioni della temperatura degli ambienti in funzione

dell'andamento dell'irraggiamento solare. Per le pareti opache e le coperture il valore della massa superficiale M_s è superiore a 230 kg/m² ed il valore del modulo della trasmittanza termica periodica Y_{IE} è inferiore a 0,10 W/m²K per le pareti e 0,18 W/m²K per le coperture.

6 PRINCIPALI RISULTATI DEI CALCOLI

Si dichiara che l'edificio oggetto della presente relazione può essere definito "edificio ad energia quasi zero" in quanto sono contemporaneamente rispettati - tutti i requisiti previsti dalla lettera b), del comma 2, del paragrafo 3.3 del decreto di cui all'articolo 4, comma 1 del decreto legislativo 192/2005, secondo i valori vigenti dal 1° gennaio 2019 per gli edifici pubblici e dal 1° gennaio 2021 per tutti gli altri edifici; - gli obblighi di integrazione delle fonti rinnovabili nel rispetto dei principi minimi di cui all'allegato 3, paragrafo 1, lettera c), del decreto legislativo 199/2021.

a. Involucro edilizio e ricambi d'aria

Trasmittanza termica degli elementi divisori tra alloggi o unità immobiliari confinanti; confronto con i valori limite:

Trasmittanza termica (U) degli elementi divisori tra alloggi o unità immobiliari confinanti

Elemento edilizio	U	U _{lim}	Verificato
C02_Copertura da non riscaldato verso esterno_Pannello sandwich 100 + 30 mm	0,168 W/(m ² K)	0,800 W/(m ² K)	SI
P04_Pannello sandwich da non riscaldato verso esterno 100 mm	0,221 W/(m ² K)	0,800 W/(m ² K)	SI
P06_Parete verso interno_Pannello sandwich 2x50 mm	0,209 W/(m ² K)	0,800 W/(m ² K)	SI

Verifica termoigrometrica:

vedi allegati alla relazione tecnica.

Numero di ricambi d'aria (media nelle 24 ore):

vedi allegati alla relazione tecnica.

Portata d'aria di ricambio solo nei casi di ventilazione meccanica controllata:

vedi allegati alla relazione tecnica.

Portata dell'aria circolante attraverso apparecchiature di recupero del calore disperso:

vedi allegati alla relazione tecnica.

Rendimento termico delle apparecchiature di recupero del calore disperso:

vedi allegati alla relazione tecnica.

b. Indici di prestazione energetica per la climatizzazione invernale ed estiva, per la produzione di acqua calda sanitaria, per la ventilazione, l'illuminazione e il trasporto

Determinazione dei seguenti indici di prestazione energetica, espressi in kWh/m² anno, così come definite al comma 3.3 dell'Allegato 1 del decreto di cui all'articolo 4, comma 1 del decreto legislativo 192/2005, rendimenti e parametri che ne caratterizzano l'efficienza energetica.

Verifica coefficiente medio globale di scambio termico per trasmissione:

Unità immobiliare	H'T	H'T,lim	Verifica
H'T Sala polivalente	0,231	0,500	SI

H'T: Coefficiente medio globale di scambio termico per trasmissione per unità di superficie disperdente HⁱT (UNI EN ISO 13789)

H'T,lim: Valore limite del coefficiente globale di scambio termico per trasmissione per unità di superficie disperdente

Verifica dell'area solare equivalente estiva dei componenti finestrati

Unità immobiliare	Asol,est/Asup,u tile	Asol,est/Asup,util e limite	Verifica
Asol,est/Asup utile Sala polivalente	0,034	0,040	SI

Verifica indice di prestazione termica utile

Indice di prestazione termica utile per la climatizzazione invernale 363,23 kWh/m²
EPH,nd

Indice di prestazione termica utile per la climatizzazione invernale
calcolato

nell'edificio di riferimento EPH,nd 380,89 kWh/m²

Verifica: SI

Indice di prestazione termica utile per la climatizzazione estiva 0,00 kWh/m²
EPC,nd

Indice di prestazione termica utile per la climatizzazione estiva
calcolato

nell'edificio di riferimento EPC,nd 0,00 kWh/m²

Verifica: SI

Verifica indice di prestazione energetica globale dell'edificio

Indice di prestazione energetica globale dell'edificio, espresso in
energia

primaria non rinnovabile EPgl,nr 47,33 kWh/m²

Indice di prestazione energetica globale dell'edificio EPgl,tot	706,26 kWh/m ²
Indice di prestazione energetica globale dell'edificio calcolato nell'edificio di riferimento EPgl,tot,limite	1 449,66 kWh/m ²
Verifica:	SI

Verifica Efficienza media stagionale

In caso di sola sostituzione del generatore di calore, le verifiche di efficienza media stagionale non sono richieste e si intendono rispettate se l'efficienza dei nuovi generatori è superiore al limite normativo.

Efficienza media stagionale dell'impianto di riscaldamento η_H	29,963
Efficienza media stagionale dell'impianto di riscaldamento calcolato nell'edificio di riferimento η_H ,limite	7,394
Verifica:	SI
Efficienza media stagionale dell'impianto di produzione di ACS η_W :	0,889
Efficienza media stagionale dell'impianto di ACS calcolato nell'edificio di riferimento η_W ,limite	0,452
Verifica:	SI
Efficienza media stagionale dell'impianto di raffrescamento η_C	7,118

Efficienza media stagionale dell'impianto di raffrescamento calcolato

nell'edificio di riferimento η_C , limite

0,000

Verifica:

-

c. Impianti solari termici per la produzione di acqua calda sanitaria

Tipo collettore -

Tipo -

installazione

Descrizione tipo installazione (se -

altro)

Tipo supporto -

Descrizione tipo supporto (se -

altro)

Inclinazio -°

ne

Orientament -

o

Capacità - l

accumulo

Impianto integrazione (specificare tipo e -
alimentazione)

Percentuale copertura fabbisogno - %
annuo

d. Impianti fotovoltaici

Connessione impianto: Grid connected

Tipo moduli Generico - Generico 360w ▪ Asol = 2,140 m²- P = 360 W/m²

Tipo Integrati
installazione

Descrizione tipo installazione (se
altro)

Tipo supporto Metallico

Descrizione tipo supporto (se
altro)

Inclinazione 5 °

Orientamento -45

Potenza 6,48 kW
installata

Percentuale copertura fabbisogno 94,20 %
annuo

e. Consuntivo energia

Energia prodotta in sito

Vettore energetico	Udm	Qdel,insitu
Energia elettrica da solare fotovoltaico [H]	kWh	164,43
Energia elettrica da solare fotovoltaico [W]	kWh	8 811,12
Energia elettrica da solare fotovoltaico [C]	kWh	690,99
Energia elettrica da solare fotovoltaico [L]	kWh	1 544,81
Energia elettrica da solare fotovoltaico [V]	kWh	233,72
Energia termica da solare termico [H]	kWh	0,00
Energia termica da solare termico [W]	kWh	0,00
Energia termica da solare termico [C]	kWh	0,00
Energia termica da solare termico [L]	kWh	0,00
Energia termica da solare termico [V]	kWh	0,00

Energia consegnata dall'esterno

Vettore energetico	Udm	Qdel,consegnata
Energia elettrica da rete [H]	kWh	133,15
Energia elettrica da rete [W]	kWh	1 831,22
Energia elettrica da rete [C]	kWh	26,04
Energia elettrica da rete [L]	kWh	381,55
Energia elettrica da rete [V]	kWh	57,70

Energia esportata

Vettore energetico	Udm	Qdel,esportata
Energia elettrica da rete [H]	kWh	2,85
Energia elettrica da rete [W]	kWh	1 225,61
Energia elettrica da rete [C]	kWh	153,37
Energia elettrica da rete [L]	kWh	211,03
Energia elettrica da rete [V]	kWh	31,91

Energia primaria

Indice di prestazione rinnovabile diviso per servizio

Servizio	EPren [kWh/(m ² a)]
Riscaldamento	9,53
Acqua calda sanitaria	622,55
Raffrescamento	7,02
Illuminazione	17,22
Ventilazione	2,61

Indice di prestazione non rinnovabile diviso per servizio

Servizio	EPnren [kWh/(m ² a)]
Riscaldamento	2,59
Acqua calda sanitaria	35,67
Raffrescamento	0,51
Illuminazione	7,43
Ventilazione	1,12

Indice di prestazione globale diviso per servizio

Servizio	EPtot [kWh/(m ² a)]
----------	--------------------------------

Riscaldamento	12,12
Acqua calda sanitaria	658,22
Raffrescamento	7,53
Illuminazione	24,65
Ventilazione	3,73

f. Valutazione della fattibilità tecnica, ambientale ed economica per l'inserimento di sistemi ad alta efficienza

Vedi allegati alla relazione tecnica

7 ELEMENTI SPECIFICI CHE MOTIVANO EVENTUALI DEROGHE A NORME FISSATE DALLA NORMATIVA VIGENTE

Nei casi in cui la normativa vigente consente di derogare ad obblighi generalmente validi, in questa sezione vanno adeguatamente illustrati i motivi che giustificano la deroga nel caso specifico:

8 DOCUMENTAZIONE ALLEGATA

Piante di ciascun piano degli edifici con orientamento e indicazione d'uso prevalente dei singoli locali e definizione degli elementi costruttivi.

Prospetti e sezioni degli edifici con evidenziazione dei sistemi fissi di protezione solare e definizione degli elementi costruttivi.

- Elaborati grafici relativi ad eventuali sistemi solari passivi specificatamente progettati per favorire lo sfruttamento degli apporti solari.
- Schemi funzionali degli impianti contenenti gli elementi di cui all'analogia voce del paragrafo 'Dati relativi agli impianti punto 5.1 lettera i' e dei punti 5.2, 5.3, 5.4, 5.5
- Tabelle con indicazione delle caratteristiche termiche, termo igrometriche e della massa efficace dei componenti opachi dell'involucro edilizio con verifica dell'assenza di rischio di formazione di muffe e di condensazioni interstiziali.
- Tabelle con indicazione delle caratteristiche termiche dei componenti finestrati dell'involucro edilizio e della loro permeabilità all'aria.
- Schede con indicazione della fattibilità tecnica, ambientale ed economica per l'inserimento di sistemi alternativi ad alta efficienza.
- Altri eventuali allegati non obbligatori:

9 DICHIARAZIONE DI RISPONDEZZA

Il sottoscritto , iscritto a , n° , essendo a conoscenza delle sanzioni previste dall'articolo 15, commi 1 e 2, del decreto legislativo 192/2005

DICHIARA

sotto la propria personale responsabilità che:

- a) il progetto relativo alle opere di cui sopra è rispondente alle prescrizioni contenute dal decreto legislativo 192/2005 nonché dal decreto di cui all'articolo 4, comma 1 del decreto legislativo 192/2005;
- b) il progetto relativo alle opere di cui sopra rispetta gli obblighi di integrazione delle fonti rinnovabili secondo i principi minimi e le decorrenze di cui all'allegato 3, paragrafo 1, lettera c), del decreto legislativo 199/2021;
- c) i dati e le informazioni contenuti nella relazione tecnica sono conformi a quanto contenuto o desumibile dagli elaborati progettuali

Data

20/06/2023

Firma

**RELAZIONE TECNICA SUL
CONSUMO ENERGETICO**

Prog.: **0073-2023**
Rev.: **01**
Data: **06/2023**

RIFERIMENTI NORMATIVI

Le norme di seguito elencate costituiscono i riferimenti principali sui quali si basa la metodologia di calcolo

Normativa nazionale

UNI/TS 11300-1	Prestazioni energetiche degli edifici - Parte 1: Determinazione del fabbisogno di energia termica dell'edificio per la climatizzazione estiva ed invernale
UNI/TS 11300-2	Prestazioni energetiche degli edifici - Parte 2: Determinazione del fabbisogno di energia primaria e dei rendimenti per la climatizzazione invernale, per la produzione di acqua calda sanitaria, per la ventilazione e per l'illuminazione in edifici non residenziali
UNI/TS 11300-3	Prestazioni energetiche degli edifici - Parte 3: Determinazione del fabbisogno di energia primaria e dei rendimenti per la climatizzazione estiva
UNI/TS 11300-4	Prestazioni energetiche degli edifici - Parte 4: Utilizzo di energie rinnovabili e di altri metodi di generazione per la climatizzazione invernale e per la produzione di acqua calda sanitaria
UNI/TS 11300-5	Calcolo dell'energia primaria e della quota di energia da fonti rinnovabili
UNI/TS 11300-6	Determinazione del fabbisogno di energia per ascensori, scale mobili e marciapiedi mobili
UNI 10349	Riscaldamento e raffrescamento degli edifici - Dati climatici
UNI EN ISO 13370	Prestazione termica degli edifici - Trasferimento di calore attraverso il terreno - Metodi di calcolo
UNI EN ISO 13788	Prestazione igrotermica dei componenti e degli elementi per edilizia - Temperatura superficiale interna per evitare l'umidità superficiale critica e la condensazione interstiziale - Metodi di calcolo
UNI EN 15193	Prestazione energetica degli edifici - Requisiti energetici per illuminazione

Decreto legislativo 199/2021	Attuazione della direttiva 2009/28/CE sulla promozione dell'uso dell'energia da fonti rinnovabili, recante modifica e successiva abrogazione delle direttive 2001/77/CE e 2003/30/CE
-------------------------------------	--

Normative regionali

Lombardia	Decreto dirigente unità organizzativa 18 dicembre 2019 - n. 18546 Decreto dirigente unità organizzativa 8 marzo 2017 - n. 2456 Decreto dirigente unità organizzativa 12 gennaio 2017 - n. 176 Decreto dirigente unità organizzativa 18 gennaio 2016 - n. 224 Decreto dirigente unità organizzativa 30 luglio 2015 n. 6480 Deliberazione della giunta regionale 17 luglio 2015 - n. 3868
Emilia Romagna	Deliberazione della giunta regionale 25 luglio 2022, n.1261 Deliberazione della giunta regionale 9 novembre 2020, n.1548 Deliberazione della giunta regionale 19 ottobre 2020, n. 1385 Deliberazione della giunta regionale 7 settembre 2015 - n. 1275 Deliberazione della giunta regionale 20 luglio 2015 - n. 967
Valle d'Aosta	Deliberazione della giunta regionale 30 dicembre 2016 - n. 1824 Deliberazione della giunta regionale 26 febbraio 2016 - n. 272
Provincia autonoma di Trento	Decreto del Presidente della Provincia 16 agosto 2022, n. 11-68/Leg Deliberazione della giunta regionale 3 febbraio 2017 - n. 163 Deliberazione della giunta regionale 12 febbraio 2016 - n. 162
Piemonte	Deliberazione della giunta regionale n. 46-11968

3 RELAZIONE TECNICA

Comune di Musile di Piave- (VE)

ALLEGATI ALLA RELAZIONE TECNICA

Dettagli di involucro

1 CARATTERISTICHE DEGLI ELEMENTI DI INVOLUCRO

ALLEGATI ALLA RELAZIONE TECNICA PROGETTUALE: L'INVOLUCRO DELL'EDIFICIO

Caratteristiche e dettagli dell'involucro opaco e trasparente.

Di seguito si riportano gli elementi che costituiscono l'involucro dell'edificio e i rispettivi valori di trasmittanza. La trasmittanza termica corretta U' è valutata attribuendo i ponti termici associati agli elementi.

La verifica è riportata e richiesta solo per interventi di riqualificazione di involucro o ristrutturazione importante di II livello.

Confronto con i valori limite di trasmittanza delle strutture

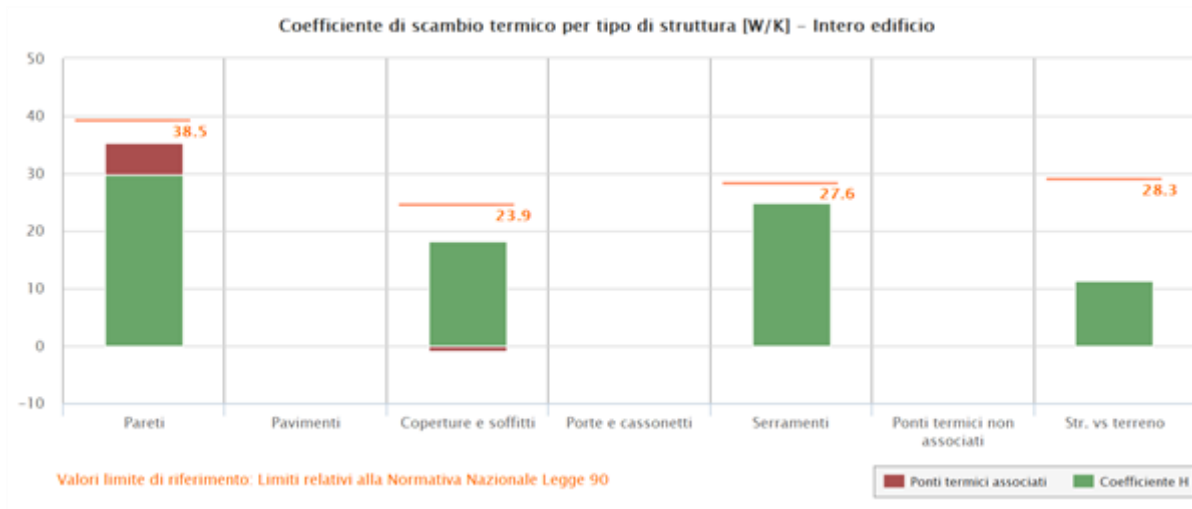
Sala polivalente

Elemento edilizio	Trasmittanza	Trasmittanza lim	Verificato
Strutture verticali opache	- $W/(m^2K)$	- $W/(m^2K)$	-
Strutture orizzontali di pavimento	- $W/(m^2K)$	- $W/(m^2K)$	-
Strutture orizzontali o inclinate di copertura	- $W/(m^2K)$	- $W/(m^2K)$	-
Serramenti	- $W/(m^2K)$	- $W/(m^2K)$	-

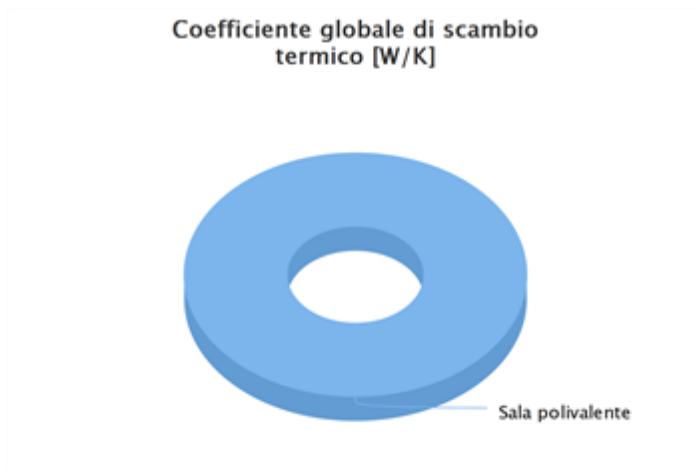
2 SCAMBI TERMICI PER CATEGORIA DI ELEMENTO

La quota di scambio termico globale per trasmissione viene determinata come sommatoria di tutte le trasmittanze per le relative superfici, opportunamente moltiplicate per il fattore di correzione dello scambio termico dovuto agli ambienti non climatizzati o climatizzati adiacenti.

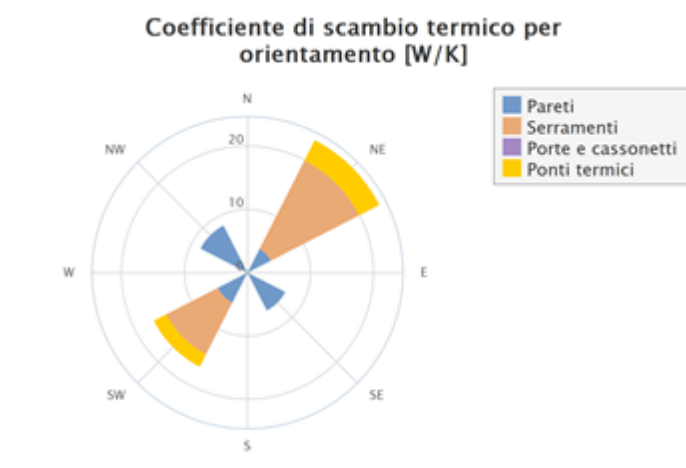
Di seguito si riporta la distribuzione degli scambi termici per trasmissione in funzione del tipo di struttura opaca o trasparente che costituisce l'involucro.



Il grafico mostra la suddivisione dello scambio termico per zona termica.



Di seguito viene evidenziato il peso dell'orientamento delle strutture verticali sullo scambio termico globale.



3 ATTRIBUZIONE DEI PONTI TERMICI AGLI ELEMENTI DI INVOLUCRO

I ponti termici dell'edificio vengono attribuiti alle sole superfici di involucro alle quali sono associati. Il valore della trasmittanza corretta, molto utile per la progettazione, è determinata in funzione della relazione seguente:

$$U' = \frac{U \cdot A + \sum \Psi \cdot l}{A}$$

Nel calcolo energetico vengono considerati tutti i ponti termici, compresi gli elementi con trasmittanza lineica negativa.

Di seguito vengono elencati per locale, gli elementi disperdenti con ponti termici associati e la percentuale di influenza relativa.

Sala polivalente - Sala polivalente - Sala polivalente

Elemento disperdente		Area	Or	U	U'
pa00 04	P01_Parete verso esterno_Pannello sandwich 100 mm	10,1 m ²	SW	0,221 W/(m ² K)	0,363 W/(m ² K)

**RELAZIONE TECNICA SUL
CONSUMO ENERGETICO**

Prog.: **0073-2023**

Rev.: **01**

Data: **06/2023**

	Ponte termico associato	ψ	Lunghezza	$\psi * L$	Incremento
pt00 21	Z03_Parete - serramento	0,092 W/(mK)	5,0 m	0,461 W/K	13,3 %
pt00 22	Z03_Parete - serramento	0,092 W/(mK)	5,0 m	0,461 W/K	13,3 %
pt00 23	Z03_Parete - serramento	0,092 W/(mK)	6,6 m	0,609 W/K	17,6 %
pt00 07	Z01_Parete - copertura piana	-0,047 W/(mK)	2,5 m	-0,119 W/K	- %
pt00 08	Z02_Parete - pavimento su terreno	0,013 W/(mK)	2,5 m	0,031 W/K	0,9 %
pt00 01	Z04_Parete esterna - parete interna	-0,005 W/(mK)	1,6 m	-0,009 W/K	- %

Elemento disperdente		Area	Or	U	U'
pa00 06	P01_Parete verso esterno_Pannello sandwich 100 mm	9,7 m ²	NE	0,221 W/(m ² K)	0,402 W/(m ² K)

	Ponte termico associato	ψ	Lunghezza	$\psi * L$	Incremento
pt00 24	Z03_Parete - serramento	0,092 W/(mK)	5,0 m	0,461 W/K	13,3 %
pt00 25	Z03_Parete - serramento	0,092 W/(mK)	5,0 m	0,461 W/K	13,3 %
pt00 26	Z03_Parete - serramento	0,092 W/(mK)	5,0 m	0,461 W/K	13,3 %
pt00 27	Z03_Parete - serramento	0,092 W/(mK)	5,0 m	0,461 W/K	13,3 %

RELAZIONE TECNICA SUL CONSUMO ENERGETICO

Prog.: **0073-2023**

Rev.: **01**

Data: **06/2023**

pt00 02	Z04_Parete esterna - parete interna	-0,005 W/(mK)	1,6 m	-0,009 W/K	- %
pt00 11	Z01_Parete - copertura piana	-0,047 W/(mK)	2,5 m	-0,119 W/K	- %
pt00 12	Z02_Parete - pavimento su terreno	0,013 W/(mK)	2,5 m	0,031 W/K	0,9 %

Elemento disperdente		Area	Or	U	U'
pa00 13	P01_Parete verso esterno_Pannello sandwich 100 mm	12,0 m ²	NW	0,221 W/(m ² K)	0,216 W/(m ² K)

	Ponte termico associato	ψ	Lunghezza	$\psi * L$	Incremento
pt00 16	Z02_Parete - pavimento su terreno	0,013 W/(mK)	1,9 m	0,024 W/K	0,9 %
pt00 17	Z01_Parete - copertura piana	-0,047 W/(mK)	1,9 m	-0,091 W/K	- %

Elemento disperdente		Area	Or	U	U'
pa00 14	P01_Parete verso esterno_Pannello sandwich 100 mm	7,8 m ²	NW	0,221 W/(m ² K)	0,216 W/(m ² K)

	Ponte termico associato	ψ	Lunghezza	$\psi * L$	Incremento
pt00 14	Z02_Parete - pavimento su terreno	0,013 W/(mK)	1,3 m	0,016 W/K	0,9 %

**RELAZIONE TECNICA SUL
CONSUMO ENERGETICO**

Prog.: **0073-2023**

Rev.: **01**

Data: **06/2023**

pt00 19	Z01_Parete - copertura piana	-0,047 W/(mK)	1,3 m	-0,059 W/K	- %
------------	------------------------------	------------------	-------	---------------	-----

Elemento disperdente		Area	Or	U	U'
pa00 15	P01_Parete verso esterno_Pannello sandwich 100 mm	6,9 m ²	NW	0,221 W/(m ² K)	0,216 W/(m ² K)

	Ponte termico associato	ψ	Lunghezza	$\psi * L$	Incremento
pt00 15	Z02_Parete - pavimento su terreno	0,013 W/(mK)	1,1 m	0,014 W/K	0,9 %
pt00 18	Z01_Parete - copertura piana	-0,047 W/(mK)	1,1 m	-0,052 W/K	- %

Elemento disperdente		Area	Or	U	U'
pa00 16	P01_Parete verso esterno_Pannello sandwich 100 mm	11,1 m ²	NW	0,221 W/(m ² K)	0,218 W/(m ² K)

	Ponte termico associato	ψ	Lunghezza	$\psi * L$	Incremento
pt00 13	Z02_Parete - pavimento su terreno	0,013 W/(mK)	3,5 m	0,044 W/K	1,8 %
pt00 20	Z01_Parete - copertura piana	-0,047 W/(mK)	1,8 m	-0,084 W/K	- %

**RELAZIONE TECNICA SUL
CONSUMO ENERGETICO**

Prog.: **0073-2023**

Rev.: **01**

Data: **06/2023**

Elemento disperdente		Area	Or	U	U'
so00 01	C01_Copertura verso esterno_Pannello sandwich 100 + 30 mm	60,3 m ²	-	0,168 W/(m ² K)	0,160 W/(m ² K)

	Ponte termico associato	ψ	Lunghezza	$\psi * L$	Incremento
pt00 07	Z01_Parete - copertura piana	-0,047 W/(mK)	2,5 m	-0,119 W/K	- %
pt00 11	Z01_Parete - copertura piana	-0,047 W/(mK)	2,5 m	-0,119 W/K	- %
pt00 14	Z02_Parete - pavimento su terreno	0,013 W/(mK)	1,3 m	0,016 W/K	0,2 %
pt00 15	Z02_Parete - pavimento su terreno	0,013 W/(mK)	1,1 m	0,014 W/K	0,1 %
pt00 16	Z02_Parete - pavimento su terreno	0,013 W/(mK)	1,9 m	0,024 W/K	0,2 %
pt00 17	Z01_Parete - copertura piana	-0,047 W/(mK)	1,9 m	-0,091 W/K	- %
pt00 18	Z01_Parete - copertura piana	-0,047 W/(mK)	1,1 m	-0,052 W/K	- %
pt00 19	Z01_Parete - copertura piana	-0,047 W/(mK)	1,3 m	-0,059 W/K	- %
pt00 20	Z01_Parete - copertura piana	-0,047 W/(mK)	1,8 m	-0,084 W/K	- %

Elemento disperdente		Area	Or	U	U'
te00 01	S01_Pavimento verso terreno	60,7 m ²	-	0,105 W/(m ² K)	0,106 W/(m ² K)

	Ponte termico associato	ψ	Lunghezza	$\psi * L$	Incremento
pt0008	Z02_Parete - pavimento su terreno	0,013 W/(mK)	2,5 m	0,031 W/K	0,5 %
pt0012	Z02_Parete - pavimento su terreno	0,013 W/(mK)	2,5 m	0,031 W/K	0,5 %

Sala polivalente - Sala polivalente - Bar

Elemento disperdente		Area	Or	U	U'
pa0002	P01_Parete verso esterno_Pannello sandwich 100 mm	9,2 m ²	NE	0,221 W/(m ² K)	0,421 W/(m ² K)

	Ponte termico associato	ψ	Lunghezza	$\psi * L$	Incremento
pt0028	Z03_Parete - serramento	0,092 W/(mK)	5,0 m	0,461 W/K	13,3 %
pt0029	Z03_Parete - serramento	0,092 W/(mK)	5,0 m	0,461 W/K	13,3 %
pt0030	Z03_Parete - serramento	0,092 W/(mK)	5,0 m	0,461 W/K	13,3 %
pt0031	Z03_Parete - serramento	0,092 W/(mK)	6,0 m	0,553 W/K	16,0 %
pt0002	Z04_Parete esterna - parete interna	-0,005 W/(mK)	1,6 m	-0,009 W/K	- %
pt0003	Z01_Parete - copertura piana	-0,047 W/(mK)	2,5 m	-0,118 W/K	- %
pt0004	Z02_Parete - pavimento su terreno	0,013 W/(mK)	2,5 m	0,031 W/K	0,9 %

**RELAZIONE TECNICA SUL
CONSUMO ENERGETICO**

Prog.: **0073-2023**

Rev.: **01**

Data: **06/2023**

Elemento disperdente		Area	Or	U	U'
pa00 03	P01_Parete verso esterno_Pannello sandwich 100 mm	19,3 m ²	SE	0,221 W/(m ² K)	0,216 W/(m ² K)

	Ponte termico associato	ψ	Lunghezza	$\psi * L$	Incremento
pt00 05	Z01_Parete - copertura piana	-0,047 W/(mK)	3,1 m	-0,146 W/K	- %
pt00 06	Z02_Parete - pavimento su terreno	0,013 W/(mK)	3,1 m	0,039 W/K	0,9 %

Elemento disperdente		Area	Or	U	U'
so00 01	C01_Copertura verso esterno_Pannello sandwich 100 + 30 mm	30,7 m ²	-	0,168 W/(m ² K)	0,159 W/(m ² K)

	Ponte termico associato	ψ	Lunghezza	$\psi * L$	Incremento
pt00 03	Z01_Parete - copertura piana	-0,047 W/(mK)	2,5 m	-0,118 W/K	- %
pt00 05	Z01_Parete - copertura piana	-0,047 W/(mK)	3,1 m	-0,146 W/K	- %

Elemento disperdente		Area	Or	U	U'
----------------------	--	------	----	---	----

**RELAZIONE TECNICA SUL
CONSUMO ENERGETICO**

Prog.: **0073-2023**

Rev.: **01**

Data: **06/2023**

te00 01	S01_Pavimento verso terreno	30,7 m ²	-	0,105 W/(m ² K)	0,107 W/(m ² K)
------------	-----------------------------	---------------------	---	-------------------------------	-------------------------------

	Ponte termico associato	ψ	Lunghezza	$\psi * L$	Incremento
pt00 04	Z02_Parete - pavimento su terreno	0,013 W/(mK)	2,5 m	0,031 W/K	1,0 %
pt00 06	Z02_Parete - pavimento su terreno	0,013 W/(mK)	3,1 m	0,039 W/K	1,2 %

Sala polivalente - Sala polivalente - Servizi

Elemento disperdente		Area	Or	U	U'
pa00 01	P01_Parete verso esterno_Pannello sandwich 100 mm	11,1 m ²	SE	0,221 W/(m ² K)	0,216 W/(m ² K)

	Ponte termico associato	ψ	Lunghezza	$\psi * L$	Incremento
pt00 01	Z01_Parete - copertura piana	-0,047 W/(mK)	1,8 m	-0,084 W/K	- %
pt00 02	Z02_Parete - pavimento su terreno	0,013 W/(mK)	1,8 m	0,022 W/K	0,9 %

Elemento disperdente		Area	Or	U	U'
pa00 05	P01_Parete verso esterno_Pannello sandwich 100 mm	13,8 m ²	SW	0,221 W/(m ² K)	0,279 W/(m ² K)

**RELAZIONE TECNICA SUL
CONSUMO ENERGETICO**

Prog.: **0073-2023**

Rev.: **01**

Data: **06/2023**

	Ponte termico associato	ψ	Lunghezza	$\psi * L$	Incremento
pt0032	Z03_Parete - serramento	0,092 W/(mK)	3,2 m	0,295 W/K	8,5 %
pt0033	Z03_Parete - serramento	0,092 W/(mK)	3,2 m	0,295 W/K	8,5 %
pt0034	Z03_Parete - serramento	0,092 W/(mK)	3,2 m	0,295 W/K	8,5 %
pt0001	Z04_Parete esterna - parete interna	-0,005 W/(mK)	1,6 m	-0,009 W/K	- %
pt0009	Z01_Parete - copertura piana	-0,047 W/(mK)	2,5 m	-0,118 W/K	- %
pt0010	Z02_Parete - pavimento su terreno	0,013 W/(mK)	2,5 m	0,031 W/K	0,9 %

Elemento disperdente		Area	Or	U	U'
so0001	C01_Copertura verso esterno_Pannello sandwich 100 + 30 mm	17,5 m ²	-	0,168 W/(m ² K)	0,157 W/(m ² K)

	Ponte termico associato	ψ	Lunghezza	$\psi * L$	Incremento
pt0001	Z01_Parete - copertura piana	-0,047 W/(mK)	1,8 m	-0,084 W/K	- %
pt0009	Z01_Parete - copertura piana	-0,047 W/(mK)	2,5 m	-0,118 W/K	- %

Elemento disperdente		Area	Or	U	U'
----------------------	--	------	----	---	----

**RELAZIONE TECNICA SUL
CONSUMO ENERGETICO**

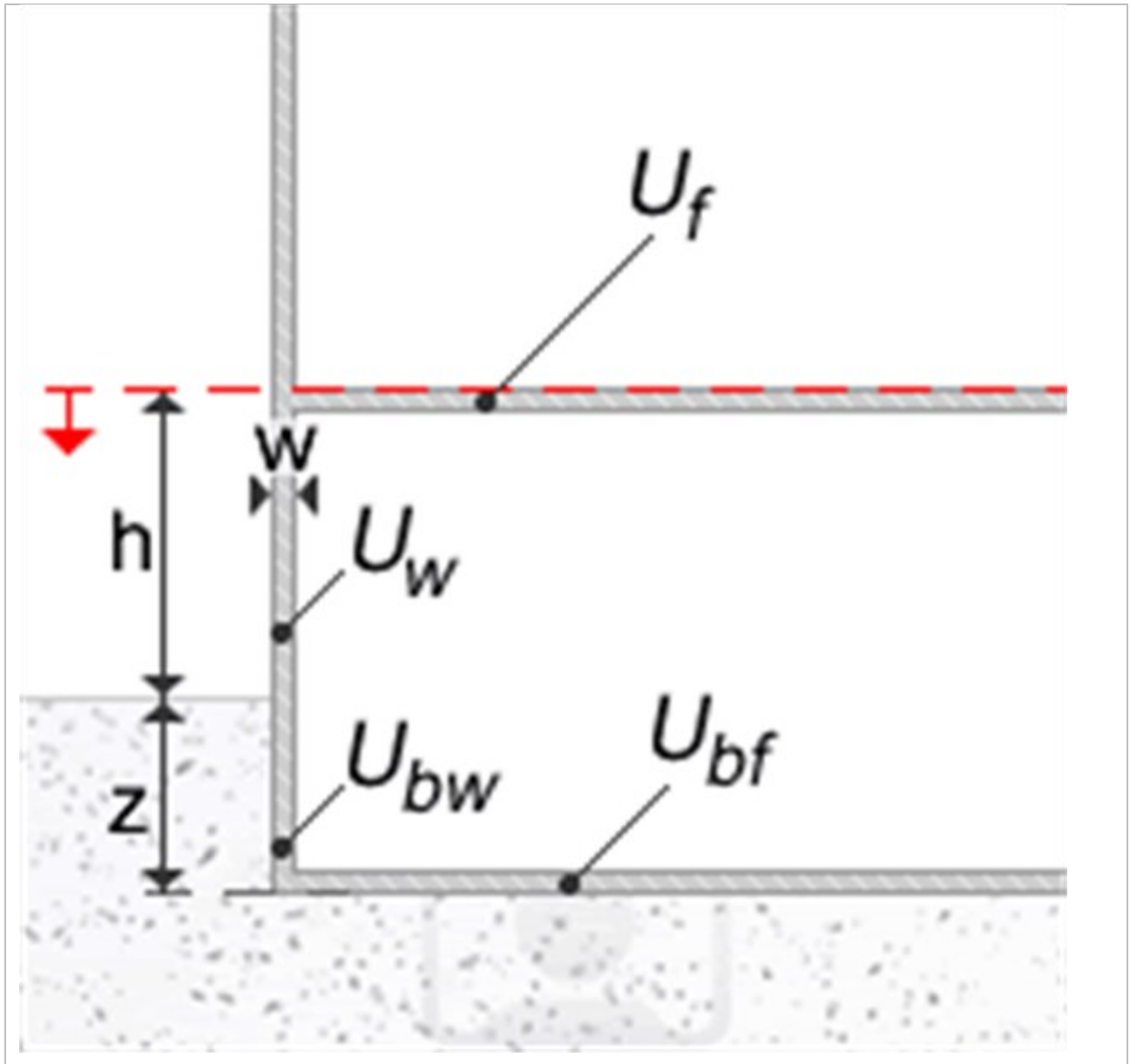
Prog.: **0073-2023**
Rev.: **01**
Data: **06/2023**

te00 01	S01_Pavimento verso terreno	17,6 m ²	-	0,105 W/(m ² K)	0,108 W/(m ² K)
------------	-----------------------------	---------------------	---	-------------------------------	-------------------------------

	Ponte termico associato	ψ	Lunghezza	$\psi * L$	Incremento
pt00 02	Z02_Parete - pavimento su terreno	0,013 W/(mK)	1,8 m	0,022 W/K	1,2 %
pt00 10	Z02_Parete - pavimento su terreno	0,013 W/(mK)	2,5 m	0,031 W/K	1,7 %

S01_Pavimento verso terreno

La valutazione della trasmittanza della struttura a contatto con il terreno è effettuata ai sensi della UNI 13370



Tipologia	Pavimento su spazio aerato (intercapedine)
Tipo isolamento	Pavimento non isolato o uniformemente isolato
Trasmittanza	0,105 W/m ² K

**RELAZIONE TECNICA SUL
CONSUMO ENERGETICO**

Prog.: **0073-2023**
Rev.: **01**
Data: **06/2023**

Resistenza 9,543 m²K/W

Distanza falda < 1 metro

Descrizione

Geometria

Perimetro esposto P 53,28 m

Area a contatto con il terreno A 175,00 m²

Area della porzione riscaldata Ar - m²

Dimensione caratteristica B' 6,57 m

Spessore pareti perimetrali w - mm

Isolamento perimetrale dn - m

Larghezza isolamento bordo D - m

Quota pavimento sospeso h 0,10 m

Profondità pavimento dal piano z 0,00 m

Profondità soletta sospesa sotto il piano campagna zh - m

Spessore equivalente totale del pavimento dt o dg 7,00 m

Spessore equivalente isolamento perimetrale p' 0,00 m

Spessore equivalente totale della parete dw 0,00 m

Area dei vani sul perimetro dell'edificio - m²

Larghezza media dei vani perimetrali dell'edificio - m

Caratteristiche di dispersione

Conducibilità del terreno	1,500 W/mK
Conducibilità dell'isolante	- W/mK
Pavimento della zona riscaldata	S01_Pavimento verso terreno
Trasmittanza Uf	0,22 W/m ² K
Pavimento a contatto con il terreno	S01_Pavimento verso terreno
Trasmittanza Ug	0,22 W/m ² K
Parete verso esterno sopra il terreno	P01_Parete verso esterno_Pannello sandwich 100 mm
Trasmittanza Uw	0,22 W/m ² K
Parete perimetrale controterra	P01_Parete verso esterno_Pannello sandwich 100 mm
Trasmittanza U'w	0,22 W/m ² K
Area aperture di ventilazione	0,00 m ² /m
Tipo di protezione dal vento	Media (periferia)
Portata d'aria nel piano interrato	- 1/h
Volume netto piano interrato	- m ³
Trasmittanza termica per scambio ventilazione	Uve - W/m ² K
Trasmittanza termica pavimento su terreno	U0 0,15 W/m ² K
Trasmittanza corretta della parete	Ubw 0,00 W/m ² K
Trasmittanza pareti porzione interrata riscaldata	Ub,r - W/m ² K
Trasmittanza pareti porzione interrata non riscaldata	Ub, nr - W/m ² K
Fattore perimetrale	0,00 W/mK
Trasmittanza equivalente pavimento controterra	0,15 W/m ² K

**RELAZIONE TECNICA SUL
CONSUMO ENERGETICO**

Prog.: **0073-2023**
Rev.: **01**
Data: **06/2023**

Trasmittanza termica per i vani posti sul perimetro dell'edificio Ube - W/m²K

Trasmittanza termica per i vani posti al centro dell'edificio Ubi - W/m²K

Verifica di trasmittanza - Limiti relativi alla Normativa Nazionale Legge 90

Comune Musile di Piave

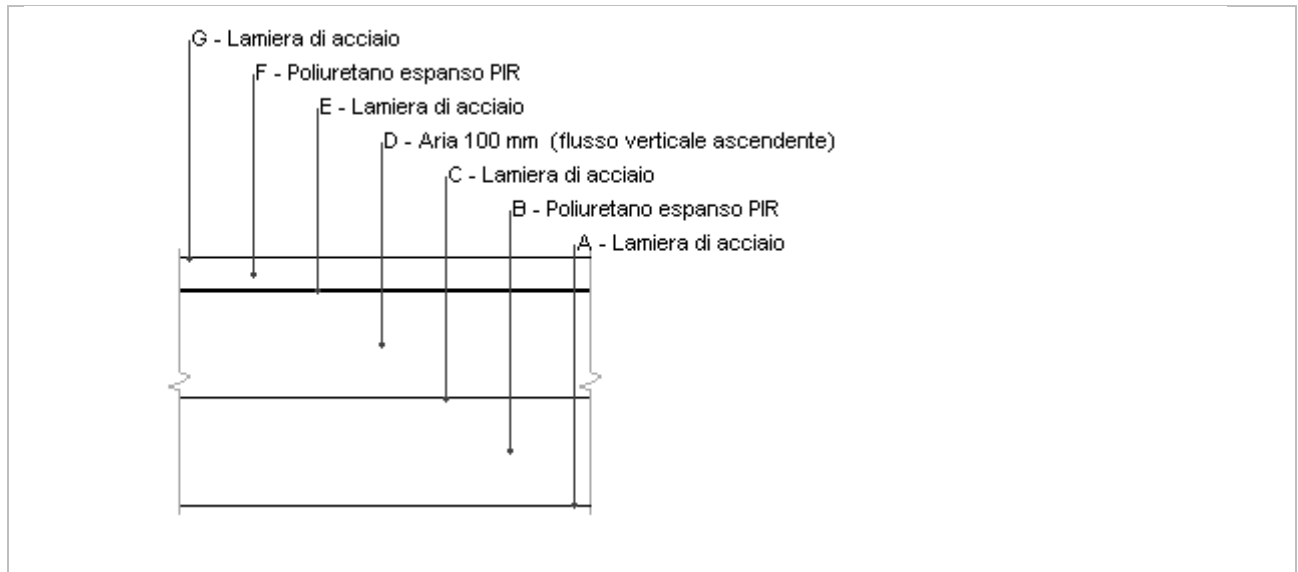
Zona climatica E

Trasmittanza 0,105 W/m²K

Trasmittanza
limite 0,260 W/m²K

Esito della
verifica OK

C01_Copertura verso esterno_Pannello sandwich 100 + 30 mm



Spessore	232,4 mm	Trasmittanza	0,168 W/m ² K
Resistenza	5,951 m ² K/W	Massa superf.	24 kg/m ²
Tipologia	Soffitto		
Descrizione			

Stratigrafia

Descrizione	Spessore s	Conducibilità λ	Resistenza R	Densità ρ	Capacità C	Fattore μ
	mm	W/(mK)	m ² K/W	Kg/m ³	kJ/(kg K)	-

**RELAZIONE TECNICA SUL
CONSUMO ENERGETICO**

Prog.: **0073-2023**
Rev.: **01**
Data: **06/2023**

	Adduttanza interna (flusso verticale ascendente)	-	-	0,100	-	-	-
A	Lamiera di acciaio	0,6	80,000	0,000	7 870	0,46	999 999,0
B	Poliuretano espanso PIR	100,0	0,023	4,348	38	1,00	100,0
C	Lamiera di acciaio	0,6	80,000	0,000	7 870	0,46	999 999,0
D	Aria 100 mm (flusso verticale ascendente)	100,0	0,630	0,159	1	1,00	1,0
E	Lamiera di acciaio	0,6	80,000	0,000	7 870	0,46	999 999,0
F	Poliuretano espanso PIR	30,0	0,023	1,304	38	1,00	100,0
G	Lamiera di acciaio	0,6	80,000	0,000	7 870	0,46	999 999,0
	Adduttanza esterna (flusso verticale ascendente)	-	-	0,040	-	-	-
	TOTALE	232,4		5,951			

CARATTERISTICHE TERMOIGROMETRICHE

Condizioni al contorno e dati climatici

Comune Musile di Piave

Tipo di calcolo di Classi di concentrazione

Verso Esterno

Coeff. btr,x 1

Volume - m³

Classe edificio Edifici con indice di affollamento non noto

Prod. nota - kg/h

RELAZIONE TECNICA SUL CONSUMO ENERGETICO

Prog.: **0073-2023**
Rev.: **01**
Data: **06/2023**

Mese	θ_i	φ_i	θ_e	φ_e	n
gennaio	20,0 °C	- %	2,8 °C	78,7 %	0,5 1/h
febbraio	20,0 °C	- %	4,7 °C	78,2 %	0,5 1/h
marzo	20,0 °C	- %	8,6 °C	73,2 %	0,5 1/h
aprile	20,0 °C	- %	12,9 °C	65,6 %	0,5 1/h
maggio	20,0 °C	- %	18,7 °C	67,2 %	0,5 1/h
giugno	20,0 °C	- %	22,3 °C	64,1 %	0,5 1/h
luglio	20,0 °C	- %	23,6 °C	68,0 %	0,5 1/h
agosto	20,0 °C	- %	22,3 °C	75,2 %	0,5 1/h
settembre	20,0 °C	- %	18,3 °C	74,0 %	0,5 1/h
ottobre	20,0 °C	- %	13,5 °C	81,7 %	0,5 1/h
novembre	20,0 °C	- %	8,8 °C	87,0 %	0,5 1/h
dicembre	20,0 °C	- %	4,6 °C	81,5 %	0,5 1/h

Condizione	θ_i	p_i	θ_e	p_e
INVERNALE	20,00 °C	1 519,00 Pa	2,80 °C	587,50 Pa
ESTIVA	20,00 °C	1 892,40 Pa	23,60 °C	1 980,20 Pa

θ_i : temperatura interna

φ_i : umidità relativa interna

θ_e : temperatura esterna

φ_e : umidità relativa esterna

n: numero di ricambi d'aria

p_i : pressione interna

p_e : pressione esterna

	La struttura non è soggetta a fenomeni di condensa interstiziale. La differenza minima di pressione tra quella di saturazione e quella reale ΔP è pari a 0 Pa.
--	--

X	La struttura è soggetta a fenomeni di condensa. La quantità stagionale di vapore condensato è pari a 0,000 kg/m ² (rievaporabile durante il periodo estivo).
---	---

X	La struttura non è soggetta a fenomeni di condensa superficiale. La differenza minima di pressione tra quella di saturazione e quella reale ΔP è pari a 307,494 Pa.
---	---

Verifica di formazione di muffe superficiali

Condizioni al contorno e dati climatici

Mese	θ_e	P_e	ΔP	P_i	θ_i	ϕ_i
ottobre	13,5 °C	1264,04 Pa	330,75 Pa	1594,79 Pa	20 °C	82 %
novembre	8,8 °C	985,33 Pa	497,6 Pa	1482,93 Pa	20 °C	87 %
dicembre	4,6 °C	690,75 Pa	646,7 Pa	1337,45 Pa	20 °C	81 %
gennaio	2,8 °C	587,46 Pa	710,6 Pa	1298,06 Pa	20 °C	79 %
febbraio	4,7 °C	667,94 Pa	643,15 Pa	1311,09 Pa	20 °C	78 %
marzo	8,6 °C	817,58 Pa	504,7 Pa	1322,28 Pa	20 °C	73 %
aprile	12,9 °C	974,94 Pa	352,05 Pa	1326,99 Pa	20 °C	66 %

Calcolo del fattore di rischio

Mese	$\theta_{si-critica}$	fR _{si-amm}
ottobre	17,46°C	0,6088
novembre	16,31°C	0,6706
dicembre	14,7°C	0,6559
gennaio	14,24°C	0,665
febbraio	14,39°C	0,6335
marzo	14,52°C	0,5196
aprile	14,58°C	0,2365

θ_e : temperatura esterna

P_e : pressione esterna

ΔP : variazione di pressione

P_i : pressione interna

θ_i : temperatura interna

ϕ_i : umidità relativa interna

$\theta_{si-critica}$: temperatura superficiale critica

fRsi amm: fattore di resistenza superficiale ammissibile

Riepilogo dei risultati

Metodo di calcolo umidità relativa ambiente interno: classi di concentrazione

Fattore di resistenza superficiale fRsi: 0,6706 (mese di Novembre)

Pressione di vapore e pressione di saturazione

	Gen	Feb	Mar	Apr	Mag	Giu	Lug	Ago	Set	Ott	Nov	Dic
Interno -Add	1	1	1	1	1	1	1	2	1	1	1	1
	298,	311,	322,	327,	594,	743,	952,	043,	716,	594,	482,	337,
	1	1	3	0	5	6	4	1	5	8	9	4
	2	2	2	2	2	2	2	2	2	2	2	2
	337,	337,	337,	337,	337,	337,	337,	337,	337,	337,	337,	337,
	0	0	0	0	0	0	0	0	0	0	0	0
Add-A	1	1	1	1	1	1	1	2	1	1	1	1
	120,	150,	196,	239,	558,	739,	959,	038,	676,	512,	358,	176,
	9	7	5	2	1	1	4	6	6	3	9	2
	2	2	2	2	2	2	2	2	2	2	2	2
	236,	247,	270,	295,	329,	350,	358,	350,	326,	298,	271,	247,
	9	8	2	2	3	6	4	6	9	7	4	2
A-B	1	1	1	1	1	1	1	2	1	1	1	1
	119,	149,	195,	238,	557,	739,	959,	038,	676,	511,	357,	174,
	4	4	4	5	8	0	4	5	2	6	8	9
	1	1	1	1	2	2	2	2	2	1	1	1
	003,	107,	348,	666,	198,	599,	759,	599,	157,	715,	361,	101,
	9	0	1	3	9	8	4	8	9	6	6	3
B-C	1	1	1	1	1	1	1	2	1	1	1	1
	942,	989,	069,	150,	521,	734,	966,	033,	636,	429,	233,	013,
	2	1	6	7	4	5	4	9	3	2	8	6
	1	1	1	1	2	2	2	2	2	1	1	1
	003,	107,	348,	666,	198,	599,	759,	599,	157,	715,	361,	101,
	9	0	1	3	9	8	5	8	9	6	6	3

RELAZIONE TECNICA SUL CONSUMO ENERGETICO

Prog.: **0073-2023**

Rev.: **01**

Data: **06/2023**

C-D	942, 2	989, 0	1 069, 6	1 150, 7	1 521, 4	1 734, 5	1 966, 4	2 033, 9	1 636, 3	1 429, 2	1 233, 8	1 013, 6
	973, 5	1 077, 4	1 321, 8	1 646, 5	2 194, 3	2 609, 3	2 775, 2	2 609, 3	2 152, 0	1 697, 0	1 335, 6	1 071, 7
D-E	765, 1	828, 7	943, 7	1 062, 9	1 484, 9	1 729, 9	1 973, 3	2 029, 4	1 596, 3	1 346, 7	1 109, 7	852, 4
	973, 5	1 077, 4	1 321, 8	1 646, 5	2 194, 3	2 609, 3	2 775, 2	2 609, 3	2 152, 0	1 697, 0	1 335, 6	1 071, 7
E-F	764, 6	828, 3	943, 4	1 062, 7	1 484, 8	1 729, 9	1 973, 3	2 029, 4	1 596, 2	1 346, 5	1 109, 4	852, 0
	752, 7	859, 8	1 122, 5	1 491, 7	2 156, 5	2 688, 6	2 907, 2	2 688, 6	2 103, 5	1 550, 9	1 137, 7	853, 8
F-G	587, 5	667, 9	817, 6	974, 9	1 448, 4	1 725, 3	1 980, 2	2 024, 8	1 556, 2	1 264, 0	985, 3	690, 7
	752, 7	859, 8	1 122, 5	1 491, 7	2 156, 5	2 688, 6	2 907, 2	2 688, 6	2 103, 5	1 550, 9	1 137, 7	853, 8
G-Add	587, 5	667, 9	817, 6	974, 9	1 448, 4	1 725, 3	1 980, 2	2 024, 8	1 556, 2	1 264, 0	985, 3	690, 7
	746, 7	853, 8	1 116, 8	1 487, 2	2 155, 4	2 691, 1	2 911, 3	2 691, 1	2 102, 1	1 546, 6	1 132, 0	847, 8

Temperature

	Gen	Feb	Mar	Apr	Mag	Giu	Lug	Ago	Set	Ott	Nov	Dic
--	-----	-----	-----	-----	-----	-----	-----	-----	-----	-----	-----	-----

RELAZIONE TECNICA SUL CONSUMO ENERGETICO

Prog.: **0073-2023**

Rev.: **01**

Data: **06/2023**

Interno -Add	20,0	20,0	20,0	20,0	20,0	20,0	20,0	20,0	20,0	20,0	20,0	20,0
Add-A	19,3	19,4	19,5	19,7	19,9	20,1	20,1	20,1	19,9	19,7	19,5	19,4
A-B	19,3	19,4	19,5	19,7	19,9	20,1	20,1	20,1	19,9	19,7	19,5	19,4
B-C	7,0	8,5	11,4	14,6	19,0	21,7	22,7	21,7	18,7	15,1	11,6	8,4
C-D	7,0	8,5	11,4	14,6	19,0	21,7	22,7	21,7	18,7	15,1	11,6	8,4
D-E	6,6	8,1	11,1	14,5	19,0	21,8	22,8	21,8	18,7	14,9	11,3	8,0
E-F	6,6	8,1	11,1	14,5	19,0	21,8	22,8	21,8	18,7	14,9	11,3	8,0
F-G	2,9	4,8	8,7	12,9	18,7	22,3	23,6	22,3	18,3	13,5	8,9	4,7
G-Add	2,9	4,8	8,7	12,9	18,7	22,3	23,6	22,3	18,3	13,5	8,9	4,7
Add- Esterno	2,8	4,7	8,6	12,9	18,7	22,3	23,6	22,3	18,3	13,5	8,8	4,6

Verifica formazione di condensa interstiziale

	Gen	Feb	Mar	Apr	Mag	Giu	Lug	Ago	Set	Ott	Nov	Dic
Interf. B/C												
Gc [Kg/m ²]	0,00 01	0,00 00	- 0,00 01	- 0,00 02	0,00 00							
Ma [Kg/m ²]	0,00 01	0,00 01	0,00 01	0,00 00	0,00 00	0,00 00	0,00 00	0,00 00	0,00 00	0,00 00	0,00 00	0,00 00
Interf. C/D												
Gc [Kg/m ²]	0,00 00	0,00 00	0,00 00	0,00 00	0,00 00	0,00 00	0,00 00	0,00 00	0,00 00	0,00 00	0,00 00	0,00 00
Ma [Kg/m ²]	0,00 00	0,00 00	0,00 00	0,00 00	0,00 00	0,00 00	0,00 00	0,00 00	0,00 00	0,00 00	0,00 00	0,00 00
Interf. D/E												
Gc [Kg/m ²]	0,00 00	0,00 00	0,00 00	0,00 00	0,00 00	0,00 00	0,00 00	0,00 00	0,00 00	0,00 00	0,00 00	0,00 00

**RELAZIONE TECNICA SUL
CONSUMO ENERGETICO**

Prog.: **0073-2023**

Rev.: **01**

Data: **06/2023**

Ma [Kg/m ²]	0,00 00											
Interf. E/F												
Gc [Kg/m ²]	0,00 00											
Ma [Kg/m ²]	0,00 00											
Interf. F/G												
Gc [Kg/m ²]	0,00 00											
Ma [Kg/m ²]												

gennaio - Interf. B/C. Formazione di condensa: 0,0001 kg/m²

febbraio - Interf. B/C. Formazione di condensa: 0,0001 kg/m²

marzo - Interf. B/C. Formazione di condensa: 0,0001 kg/m²

dicembre - Interf. B/C. Formazione di condensa: 0,0000 kg/m²

Visualizza/modifica gli elementi in archiviofebbraio

Verifica di condensa interstiziale:

Quantità massima di vapore accumulato mensilmente

Gc: 0,0001 kg/m² B-C nel mese di gennaio

Quantità ammissibile di vapore accumulato mensilmente in un'interfaccia

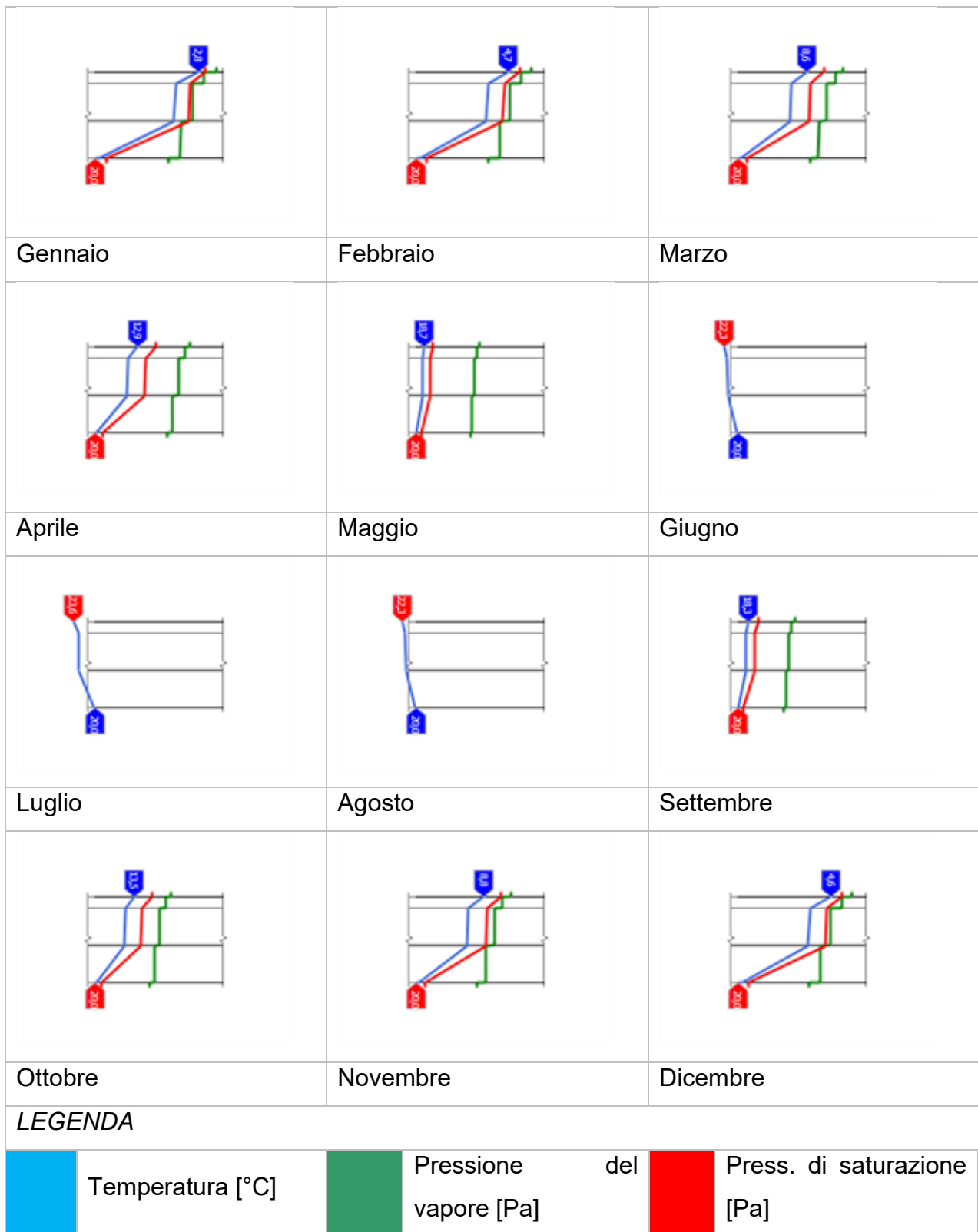
Gc,max: 0,5000 kg/m²

Quantità di vapore residuo Ma: 0,0001 nel mese di febbraio kg/m² B-C

Esito della verifica di condensa interstiziale: Interfaccia B-C - Formazione di condensa:

0,0001 kg/m²

DIAGRAMMI DI PRESSIONE E TEMPERATURA



CARATTERISTICHE DI INERZIA TERMICA - UNI 13786

Verifica di massa

Massa della struttura per metro quadrato di
superficie 24 kg/m²

Valore minimo di massa superficiale 230 kg/m²

Esito della verifica di
massa OK

Condizioni al contorno

Comune Musile di Piave

Orientamento S

Colorazione Chiaro

Mese massima
insolazione giugno

Temperatura media nel mese di massima
insolazione 22,3 °C

Temperatura massima estiva 33,2 °C

Escursione giorno più caldo dell'anno 17,7 °C

Irradianza mensile massima sul piano
orizzontale 267,36 W/m²

Inerzia termica

Sfasamento dell'onda
termica 2h 41'

Fattore di attenuazione 0,8903

Capacità termica interna
C1 5,3 kJ/m²K

RELAZIONE TECNICA SUL CONSUMO ENERGETICO

Prog.: **0073-2023**
Rev.: **01**
Data: **06/2023**

Capacità termica esterna C2	7,3 kJ/m ² K
Ammettenza interna oraria	15,6 W/m ² K
Ammettenza interna	0,5 W/m ² K
Ammettenza esterna oraria	15,7 W/m ² K
Ammettenza esterna	0,5 W/m ² K
Trasmittanza periodica Y	0,150 W/m ² K
Valore limite Ylim	0,180 W/m ² K
Classificazione normativa	

Esito della verifica di
inerzia **OK**

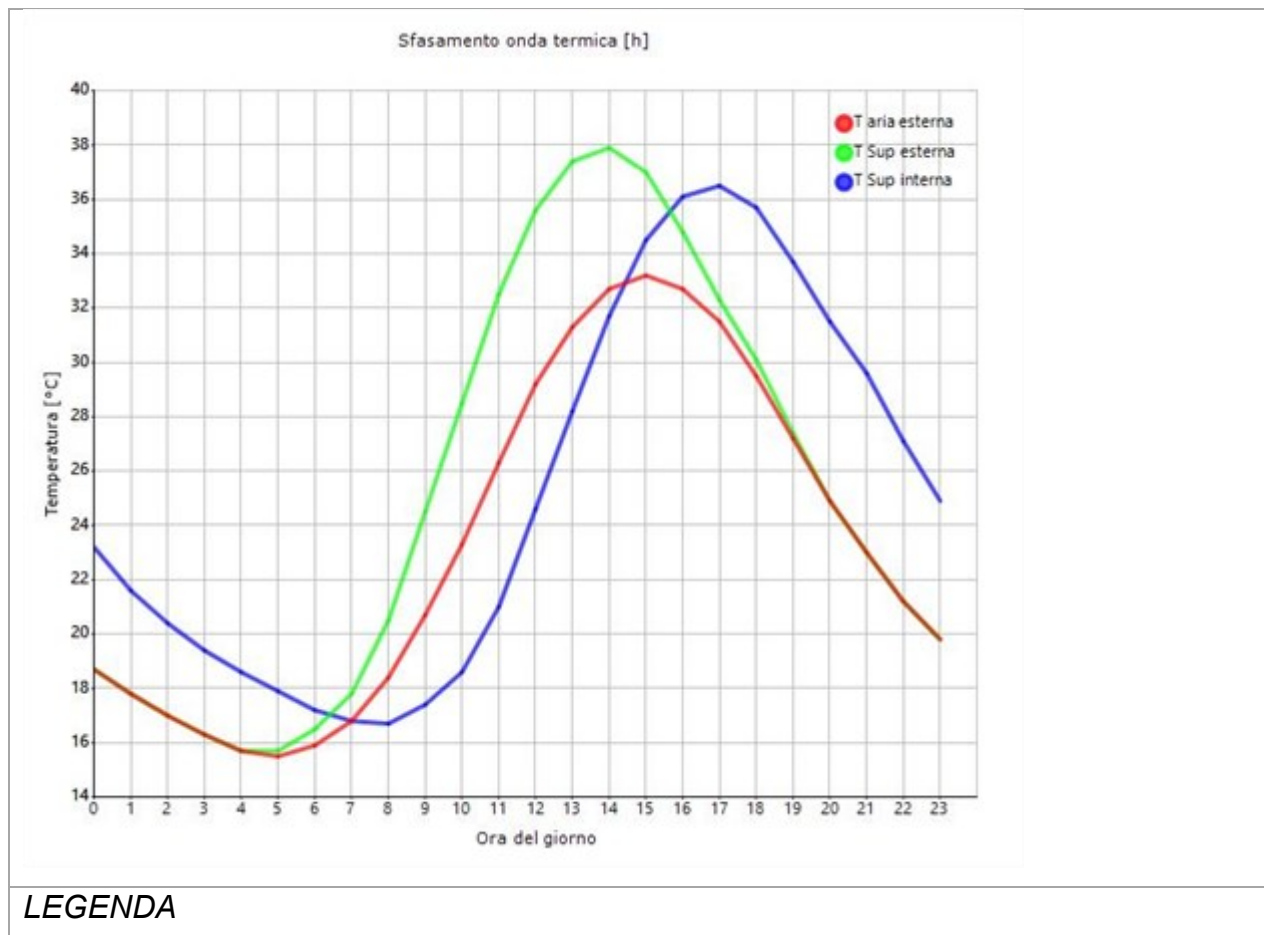
Ora	Temperatura esterna giorno più caldo Te °C	Irradiazione solare giorno più caldo le W/m ²	Temp. sup. esterna giorno più caldo Te,sup °C	Temp interna giorno più caldo Ti °C
0:00	18,73	0,00	18,73	23,22
1:00	17,85	0,00	17,85	21,64
2:00	16,96	0,00	16,96	20,38
3:00	16,25	0,00	16,25	19,43
4:00	15,72	0,00	15,72	18,65
5:00	15,55	10,23	15,67	17,86
6:00	15,90	49,23	16,49	17,23
7:00	16,79	85,81	17,81	16,75
8:00	18,38	173,93	20,47	16,71
9:00	20,68	316,98	24,48	17,44
10:00	23,33	434,21	28,54	18,62
11:00	26,34	509,83	32,46	20,98

RELAZIONE TECNICA SUL CONSUMO ENERGETICO

Prog.: **0073-2023**
Rev.: **01**
Data: **06/2023**

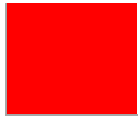
12:00	29,18	535,83	35,60	24,55
13:00	31,30	509,83	37,42	28,17
14:00	32,72	434,21	37,93	31,66
15:00	33,25	316,98	37,05	34,46
16:00	32,72	173,93	34,80	36,07
17:00	31,48	71,05	32,33	36,52
18:00	29,53	49,62	30,12	35,74
19:00	27,23	10,23	27,35	33,74
20:00	24,93	0,00	24,93	31,54
21:00	22,98	0,00	22,98	29,58
22:00	21,21	0,00	21,21	27,11
23:00	19,79	0,00	19,79	24,95

DIAGRAMMA DI SFASAMENTO DELL'ONDA TERMICA



**RELAZIONE TECNICA SUL
CONSUMO ENERGETICO**

Prog.: **0073-2023**
Rev.: **01**
Data: **06/2023**



Temperatura
esterna [°C]



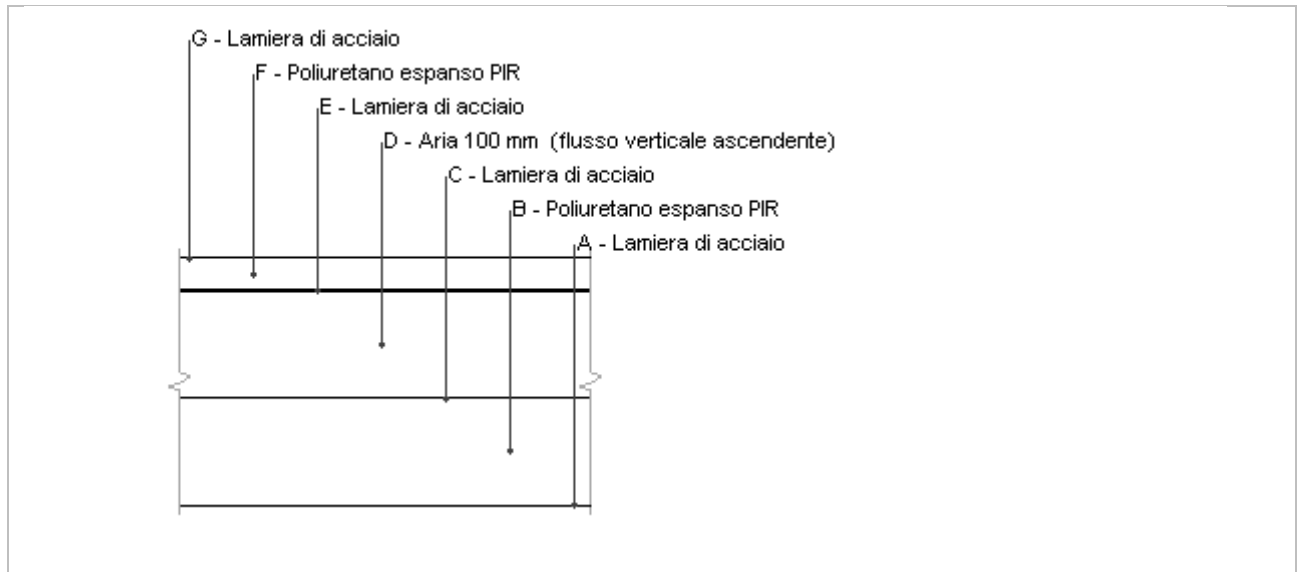
Temp.
esterna [°C]

sup.



Temperatura
interna [°C]

C02_Copertura da non riscaldato verso esterno_Pannello sandwich 100 + 30 mm



Spessore	232,4 mm	Trasmittanza	0,168 W/m ² K
Resistenza	5,951 m ² K/W	Massa superf.	24 kg/m ²
Tipologia	Soffitto		
Descrizione			

Stratigrafia

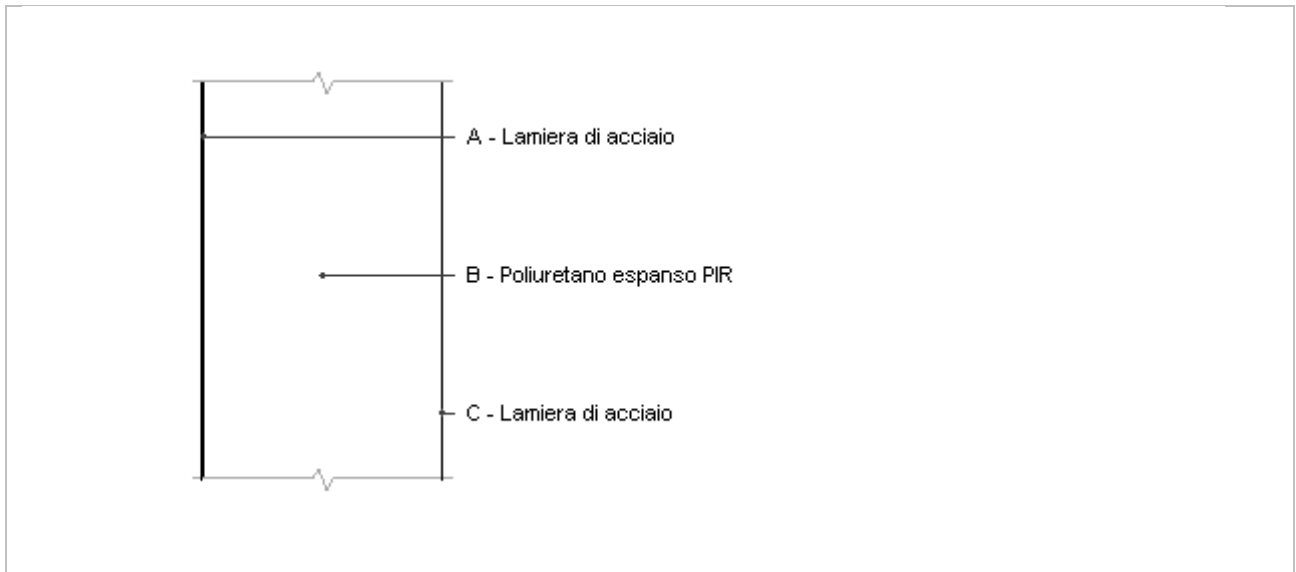
Descrizione	Spessore	Conducibilità	Resistenza	Densità	Capacità	Fattore
	mm	W/(mK)	m ² K/W	Kg/m ³	kJ/(kg K)	μ
						-

**RELAZIONE TECNICA SUL
CONSUMO ENERGETICO**

Prog.: **0073-2023**
Rev.: **01**
Data: **06/2023**

	Adduttanza interna (flusso verticale ascendente)	-	-	0,100	-	-	-
A	Lamiera di acciaio	0,6	80,000	0,000	7 870	0,46	999 999,0
B	Poliuretano espanso PIR	100,0	0,023	4,348	38	1,00	100,0
C	Lamiera di acciaio	0,6	80,000	0,000	7 870	0,46	999 999,0
D	Aria 100 mm (flusso verticale ascendente)	100,0	0,630	0,159	1	1,00	1,0
E	Lamiera di acciaio	0,6	80,000	0,000	7 870	0,46	999 999,0
F	Poliuretano espanso PIR	30,0	0,023	1,304	38	1,00	100,0
G	Lamiera di acciaio	0,6	80,000	0,000	7 870	0,46	999 999,0
	Adduttanza esterna (flusso verticale ascendente)	-	-	0,040	-	-	-
	TOTALE	232,4		5,951			

P01_Parete verso esterno_Pannello sandwich 100 mm



Spessore	101,2 mm	Trasmittanza	0,221 W/m ² K
Resistenza	4,518 m ² K/W	Massa superf.	13 kg/m ²
Tipologia	Parete		
Descrizione	Pannello CAM		

Stratigrafia

	Descrizione	Spessore s	Conducibilità λ	Resistenza R	Densità ρ	Capacità C	Fattore μ
		mm	W/(mK)	m ² K/W	Kg/m ³	kJ/(kg K)	-

RELAZIONE TECNICA SUL CONSUMO ENERGETICO

Prog.: **0073-2023**

Rev.: **01**

Data: **06/2023**

	Adduttanza interna (flusso orizzontale)	-	-	0,130	-	-	-
A	Lamiera di acciaio	0,6	80,000	0,000	7 870	0,46	999 999,0
B	Poliuretano espanso PIR	100,0	0,023	4,348	38	1,00	100,0
C	Lamiera di acciaio	0,6	80,000	0,000	7 870	0,46	999 999,0
	Adduttanza esterna (flusso orizzontale)	-	-	0,040	-	-	-
	TOTALE	101,2		4,518			

CARATTERISTICHE TERMOIGROMETRICHE

Condizioni al contorno e dati climatici

Comune Musile di Piave

Tipo di calcolo di Classi di concentrazione

Verso Esterno

Coeff. btr,x 1

Volume - m³

Classe edificio Edifici con indice di affollamento non noto

Prod. nota - kg/h

Mese	θ_i	φ_i	θ_e	φ_e	n
gennaio	20,0 °C	- %	2,8 °C	78,7 %	0,5 1/h
febbraio	20,0 °C	- %	4,7 °C	78,2 %	0,5 1/h
marzo	20,0 °C	- %	8,6 °C	73,2 %	0,5 1/h
aprile	20,0 °C	- %	12,9 °C	65,6 %	0,5 1/h
maggio	20,0 °C	- %	18,7 °C	67,2 %	0,5 1/h
giugno	20,0 °C	- %	22,3 °C	64,1 %	0,5 1/h

RELAZIONE TECNICA SUL CONSUMO ENERGETICO

Prog.: 0073-2023

Rev.: 01

Data: 06/2023

luglio	20,0 °C	- %	23,6 °C	68,0 %	0,5 1/h
agosto	20,0 °C	- %	22,3 °C	75,2 %	0,5 1/h
settembre	20,0 °C	- %	18,3 °C	74,0 %	0,5 1/h
ottobre	20,0 °C	- %	13,5 °C	81,7 %	0,5 1/h
novembre	20,0 °C	- %	8,8 °C	87,0 %	0,5 1/h
dicembre	20,0 °C	- %	4,6 °C	81,5 %	0,5 1/h

Condizione	θ_i	p_i	θ_e	p_e
INVERNALE	20,00 °C	1 519,00 Pa	2,80 °C	587,50 Pa
ESTIVA	20,00 °C	1 892,40 Pa	23,60 °C	1 980,20 Pa

θ_i : temperatura interna

ϕ_i : umidità relativa interna

θ_e : temperatura esterna

ϕ_e : umidità relativa esterna

n : numero di ricambi d'aria

p_i : pressione interna

p_e : pressione esterna

	La struttura non è soggetta a fenomeni di condensa interstiziale. La differenza minima di pressione tra quella di saturazione e quella reale ΔP è pari a 0 Pa.
--	--

X	La struttura è soggetta a fenomeni di condensa. La quantità stagionale di vapore condensato è pari a 0,000 kg/m ² (rievaporabile durante il periodo estivo).
---	---

X	La struttura non è soggetta a fenomeni di condensa superficiale. La differenza minima di pressione tra quella di saturazione e quella reale ΔP è pari a 311,820 Pa.
---	---

Verifica di formazione di muffe superficiali

Condizioni al contorno e dati climatici

Mese	θ_e	P_e	ΔP	P_i	θ_i	ϕ_i
ottobre	13,5 °C	1264,04 Pa	330,75 Pa	1594,79 Pa	20 °C	82 %

RELAZIONE TECNICA SUL CONSUMO ENERGETICO

Prog.: **0073-2023**

Rev.: **01**

Data: **06/2023**

novembre	8,8 °C	985,33 Pa	497,6 Pa	1482,93 Pa	20 °C	87 %
dicembre	4,6 °C	690,75 Pa	646,7 Pa	1337,45 Pa	20 °C	81 %
gennaio	2,8 °C	587,46 Pa	710,6 Pa	1298,06 Pa	20 °C	79 %
febbraio	4,7 °C	667,94 Pa	643,15 Pa	1311,09 Pa	20 °C	78 %
marzo	8,6 °C	817,58 Pa	504,7 Pa	1322,28 Pa	20 °C	73 %
aprile	12,9 °C	974,94 Pa	352,05 Pa	1326,99 Pa	20 °C	66 %

Calcolo del fattore di rischio

Mese	θ_{si} -critica	fR _{si} -amm
ottobre	17,46°C	0,6088
novembre	16,31°C	0,6706
dicembre	14,7°C	0,6559
gennaio	14,24°C	0,665
febbraio	14,39°C	0,6335
marzo	14,52°C	0,5196
aprile	14,58°C	0,2365

θ_e : temperatura esterna

P_e : pressione esterna

ΔP : variazione di pressione

P_i : pressione interna

θ_i : temperatura interna

ϕ_i : umidità relativa interna

θ_{si} critica: temperatura superficiale critica

fR_{si} amm: fattore di resistenza superficiale ammissibile

Riepilogo dei risultati

Metodo di calcolo umidità relativa ambiente interno: classi di concentrazione

Fattore di resistenza superficiale fR_{si}: 0,6706 (mese di Novembre)

Pressione di vapore e pressione di saturazione

	Gen	Feb	Mar	Apr	Mag	Giu	Lug	Ago	Set	Ott	Nov	Dic
--	-----	-----	-----	-----	-----	-----	-----	-----	-----	-----	-----	-----

RELAZIONE TECNICA SUL CONSUMO ENERGETICO

Prog.: **0073-2023**

Rev.: **01**

Data: **06/2023**

Interno -Add	1 298, 1	1 311, 1	1 322, 3	1 327, 0	1 594, 5	1 743, 6	1 952, 4	2 043, 1	1 716, 5	1 594, 8	1 482, 9	1 337, 4
	2 337, 0											
Add-A	944, 2	990, 8	1 071, 0	1 151, 7	1 521, 8	1 734, 5	1 966, 3	2 034, 0	1 636, 7	1 430, 1	1 235, 2	1 015, 4
	2 206, 1	2 220, 3	2 249, 5	2 282, 2	2 326, 8	2 354, 9	2 365, 2	2 354, 9	2 323, 7	2 286, 7	2 251, 0	2 219, 5
A-B	941, 3	988, 2	1 068, 9	1 150, 2	1 521, 2	1 734, 4	1 966, 4	2 033, 9	1 636, 0	1 428, 7	1 233, 1	1 012, 8
	754, 6	861, 7	1 124, 3	1 493, 2	2 156, 9	2 687, 9	2 905, 9	2 687, 9	2 104, 0	1 552, 3	1 139, 5	855, 7
B-C	587, 5	667, 9	817, 6	974, 9	1 448, 4	1 725, 3	1 980, 2	2 024, 8	1 556, 2	1 264, 0	985, 3	690, 7
	754, 6	861, 7	1 124, 3	1 493, 2	2 156, 9	2 687, 9	2 905, 9	2 687, 9	2 104, 0	1 552, 3	1 139, 5	855, 7
C-Add	587, 5	667, 9	817, 6	974, 9	1 448, 4	1 725, 3	1 980, 2	2 024, 8	1 556, 2	1 264, 0	985, 3	690, 7
	746, 7	853, 8	1 116, 8	1 487, 2	2 155, 4	2 691, 1	2 911, 3	2 691, 1	2 102, 1	1 546, 6	1 132, 0	847, 8

Temperature

	Gen	Feb	Mar	Apr	Mag	Giu	Lug	Ago	Set	Ott	Nov	Dic
--	-----	-----	-----	-----	-----	-----	-----	-----	-----	-----	-----	-----

RELAZIONE TECNICA SUL CONSUMO ENERGETICO

Prog.: **0073-2023**

Rev.: **01**

Data: **06/2023**

Interno -Add	20,0	20,0	20,0	20,0	20,0	20,0	20,0	20,0	20,0	20,0	20,0	20,0
Add-A	19,1	19,2	19,4	19,6	19,9	20,1	20,2	20,1	19,9	19,6	19,4	19,2
A-B	19,1	19,2	19,4	19,6	19,9	20,1	20,2	20,1	19,9	19,6	19,4	19,2
B-C	2,9	4,8	8,7	13,0	18,7	22,3	23,6	22,3	18,3	13,6	8,9	4,7
C-Add	2,9	4,8	8,7	13,0	18,7	22,3	23,6	22,3	18,3	13,6	8,9	4,7
Add- Esterno	2,8	4,7	8,6	12,9	18,7	22,3	23,6	22,3	18,3	13,5	8,8	4,6

Verifica formazione di condensa interstiziale

	Gen	Feb	Mar	Apr	Mag	Giu	Lug	Ago	Set	Ott	Nov	Dic
Interf. B/C												
Gc [Kg/m ²]	0,00 02	0,00 01	0,00 00	- 0,00 03	- 0,00 06	0,00 00	0,00 00	0,00 00	0,00 00	0,00 00	0,00 01	0,00 01
Ma [Kg/m ²]	0,00 04	0,00 05	0,00 04	0,00 01	0,00 00	0,00 00	0,00 00	0,00 00	0,00 00	0,00 00	0,00 01	0,00 02
Interf. C/D												
Gc [Kg/m ²]	0,00 00	0,00 00	0,00 00	0,00 00	0,00 00	0,00 00	0,00 00	0,00 00	0,00 00	0,00 00	0,00 00	0,00 00
Ma [Kg/m ²]	0,00 00	0,00 00	0,00 00	0,00 00	0,00 00	0,00 00	0,00 00	0,00 00	0,00 00	0,00 00	0,00 00	0,00 00

gennaio - Interf. B/C. Formazione di condensa: 0,0004 kg/m²

febbraio - Interf. B/C. Formazione di condensa: 0,0005 kg/m²

marzo - Interf. B/C. Formazione di condensa: 0,0004 kg/m²

aprile - Interf. B/C. Formazione di condensa: 0,0001 kg/m²

novembre - Interf. B/C. Formazione di condensa: 0,0001 kg/m²

dicembre - Interf. B/C. Formazione di condensa: 0,0002 kg/m²

Visualizza/modifica gli elementi in archiviofebbraio

Verifica di condensa interstiziale:

Quantità massima di vapore accumulato mensilmente

Gc: 0,0002 kg/m² B-C nel mese di gennaio

Quantità ammissibile di vapore accumulato mensilmente in un'interfaccia

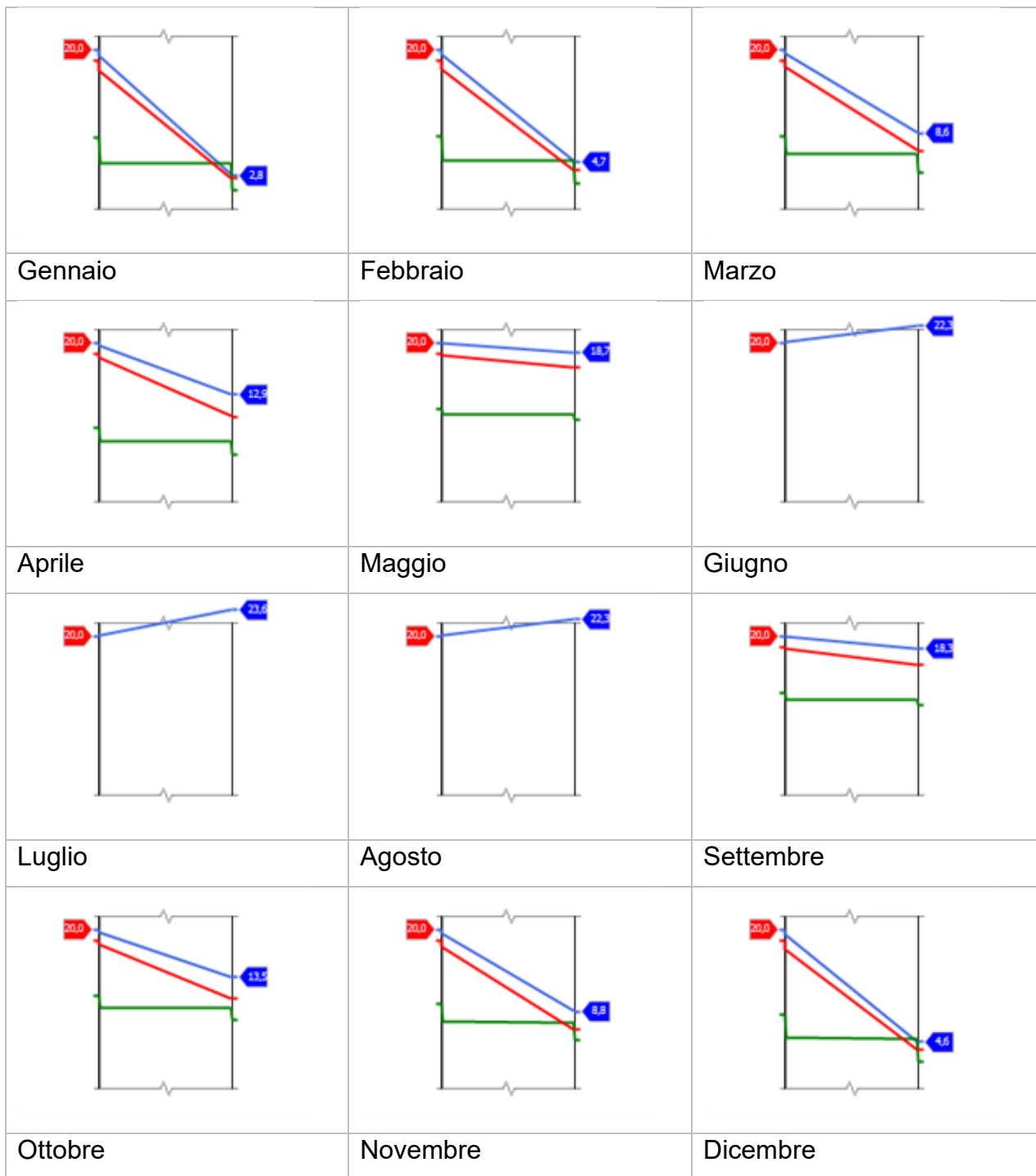
Gc,max: 0,5000 kg/m²

Quantità di vapore residuo Ma: 0,0005 nel mese di febbraio kg/m² B-C

Esito della verifica di condensa interstiziale: Interfaccia B-C - Formazione di condensa:

0,0005 kg/m²

DIAGRAMMI DI PRESSIONE E TEMPERATURA



LEGENDA

	Temperatura [°C]		Pressione vapore [Pa]	del		Press. di saturazione [Pa]
--	------------------	--	--------------------------	-----	--	-------------------------------

CARATTERISTICHE DI INERZIA TERMICA - UNI 13786

Verifica di massa

Massa della struttura per metro quadrato di
superficie 13 kg/m²

Valore minimo di massa superficiale 230 kg/m²

Esito della verifica di
massa NO

Condizioni al contorno

Comune Musile di Piave

Orientamento S

Colorazione Chiaro

Mese massima
insolazione giugno

Temperatura media nel mese di massima
insolazione 22,3 °C

Temperatura massima estiva 33,2 °C

Escursione giorno più caldo dell'anno 17,7 °C

Irradianza mensile massima sul piano
orizzontale 267,36 W/m²

Inerzia termica

Sfasamento dell'onda
termica 0h 55'

Fattore di attenuazione 0,9903

Capacità termica interna
C1 4,0 kJ/m²K

**RELAZIONE TECNICA SUL
CONSUMO ENERGETICO**

Prog.: **0073-2023**
Rev.: **01**
Data: **06/2023**

Capacità termica esterna C2	4,1 kJ/m ² K
Ammettenza interna oraria	15,0 W/m ² K
Ammettenza interna	0,3 W/m ² K
Ammettenza esterna oraria	15,1 W/m ² K
Ammettenza esterna	0,3 W/m ² K
Trasmittanza periodica Y	0,219 W/m ² K
Valore limite Ylim	0,100 W/m ² K
Classificazione normativa	

Esito della verifica di
inerzia **NO**

Ora	Temperatura esterna giorno più caldo Te °C	Irradiazione solare giorno più caldo Ie W/m ²	Temp. sup. esterna giorno più caldo Te,sup °C	Temp interna giorno più caldo Ti °C
0:00	18,73	0,00	18,73	19,85
1:00	17,85	0,00	17,85	18,79
2:00	16,96	0,00	16,96	17,92
3:00	16,25	0,00	16,25	17,04
4:00	15,72	0,00	15,72	16,34
5:00	15,55	10,23	15,67	15,81
6:00	15,90	49,23	16,49	15,76
7:00	16,79	85,81	17,81	16,57
8:00	18,38	173,93	20,47	17,89
9:00	20,68	316,98	24,48	20,51
10:00	23,33	434,21	28,54	24,49
11:00	26,34	509,83	32,46	28,51

RELAZIONE TECNICA SUL CONSUMO ENERGETICO

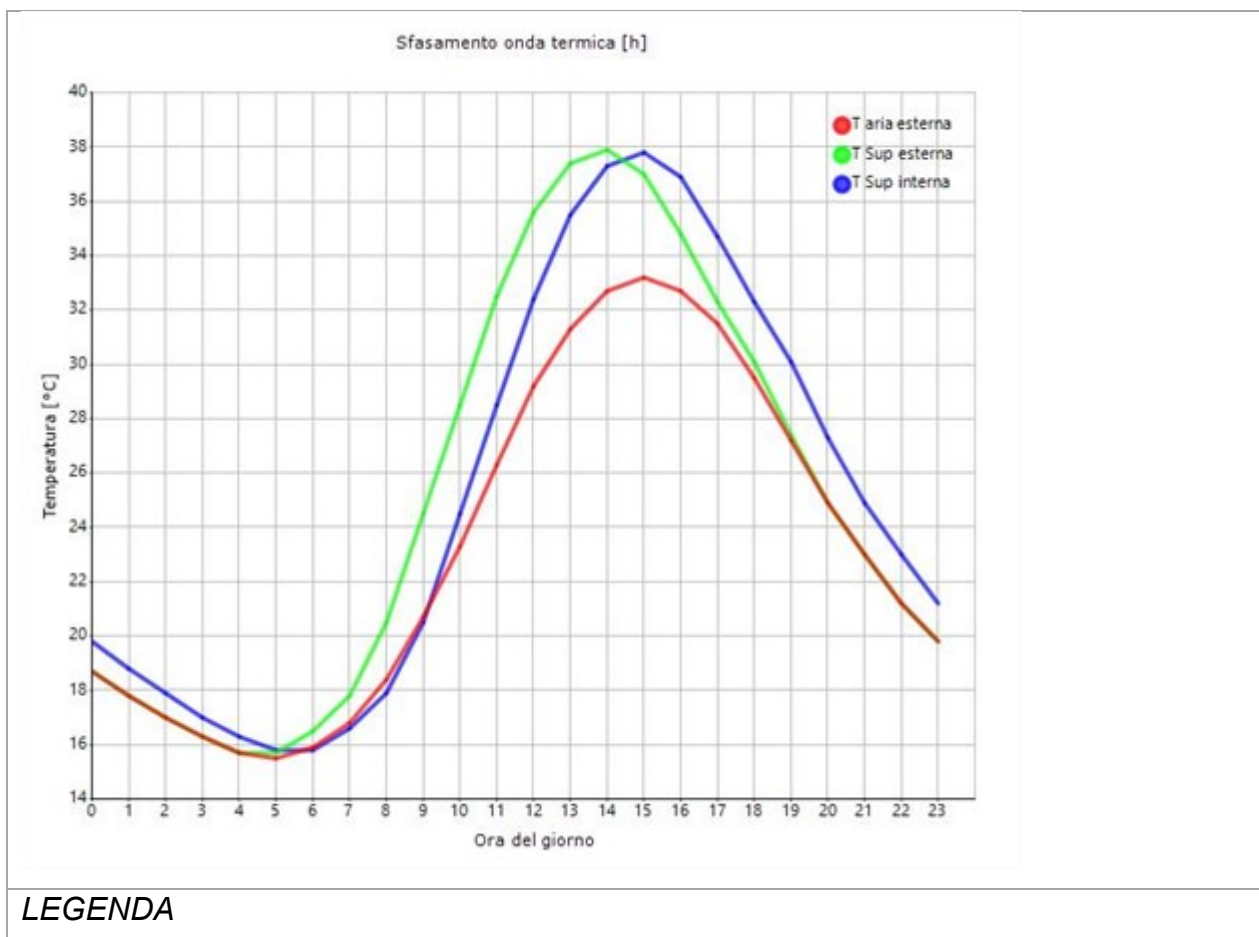
Prog.: 0073-2023

Rev.: 01

Data: 06/2023

12:00	29,18	535,83	35,60	32,39
13:00	31,30	509,83	37,42	35,50
14:00	32,72	434,21	37,93	37,30
15:00	33,25	316,98	37,05	37,80
16:00	32,72	173,93	34,80	36,93
17:00	31,48	71,05	32,33	34,71
18:00	29,53	49,62	30,12	32,26
19:00	27,23	10,23	27,35	30,08
20:00	24,93	0,00	24,93	27,33
21:00	22,98	0,00	22,98	24,93
22:00	21,21	0,00	21,21	23,00
23:00	19,79	0,00	19,79	21,25

DIAGRAMMA DI SFASAMENTO DELL'ONDA TERMICA



**RELAZIONE TECNICA SUL
CONSUMO ENERGETICO**

Prog.: **0073-2023**
Rev.: **01**
Data: **06/2023**



Temperatura
esterna [°C]



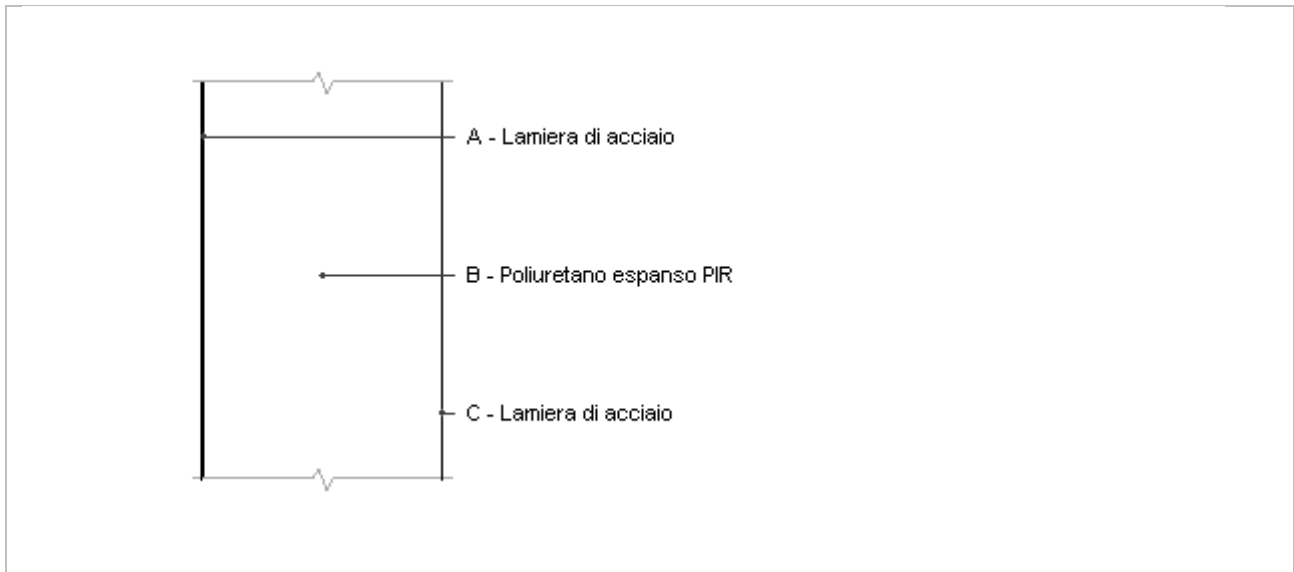
Temp.
esterna [°C]

sup.



Temperatura
interna [°C]

P02_Parete verso non riscaldato_Pannello sandwich 100 mm



Spessore	101,2 mm	Trasmittanza	0,217 W/m ² K
Resistenza	4,608 m ² K/W	Massa superf.	13 kg/m ²
Tipologia	Parete		
Descrizione	Pannello CAM		

Stratigrafia

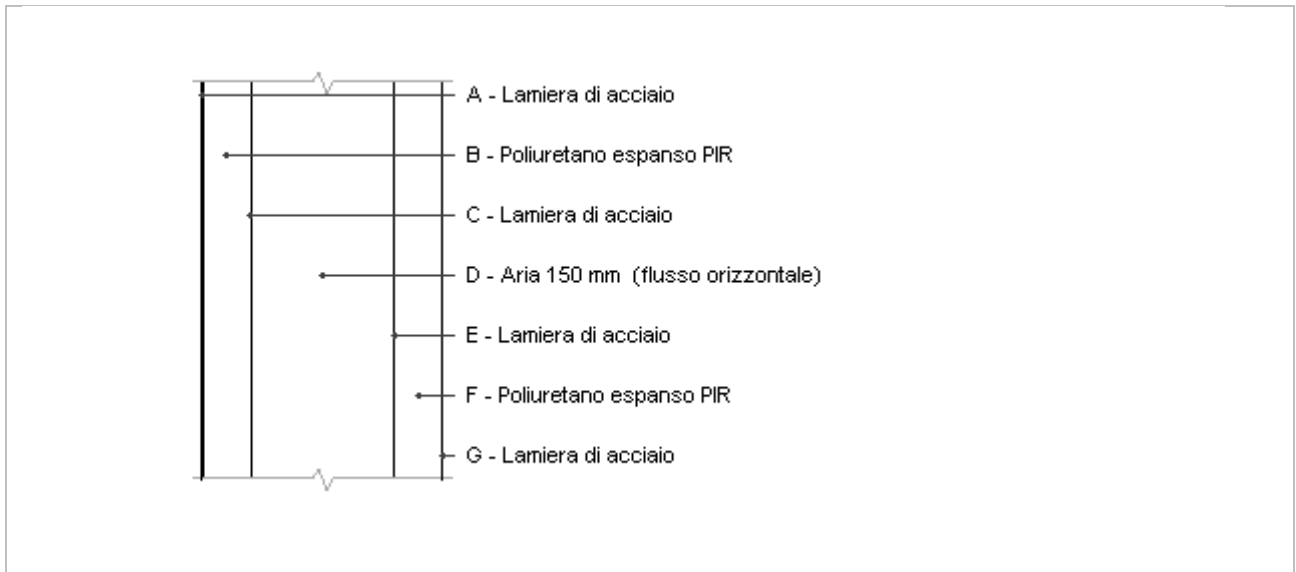
	Descrizione	Spessore	Conducibilità	Resistenza	Densità	Capacità	Fattore μ
		s	λ	R	ρ	C	
		mm	W/(mK)	m ² K/W	Kg/m ³	kJ/(kg K)	-

**RELAZIONE TECNICA SUL
CONSUMO ENERGETICO**

Prog.: **0073-2023**
Rev.: **01**
Data: **06/2023**

	Adduttanza interna (flusso orizzontale)	-	-	0,130	-	-	-
A	Lamiera di acciaio	0,6	80,000	0,000	7 870	0,46	999 999,0
B	Poliuretano espanso PIR	100,0	0,023	4,348	38	1,00	100,0
C	Lamiera di acciaio	0,6	80,000	0,000	7 870	0,46	999 999,0
	Adduttanza interna (flusso orizzontale)	-	-	0,130	-	-	-
	TOTALE	101,2		4,608			

P03_Parete verso non riscaldato_Pannello sandwich 2x50 mm



Spessore	252,4 mm	Trasmittanza	0,209 W/m ² K
Resistenza	4,789 m ² K/W	Massa superf.	23 kg/m ²
Tipologia	Parete		
Descrizione	Pannello CAM		

Stratigrafia

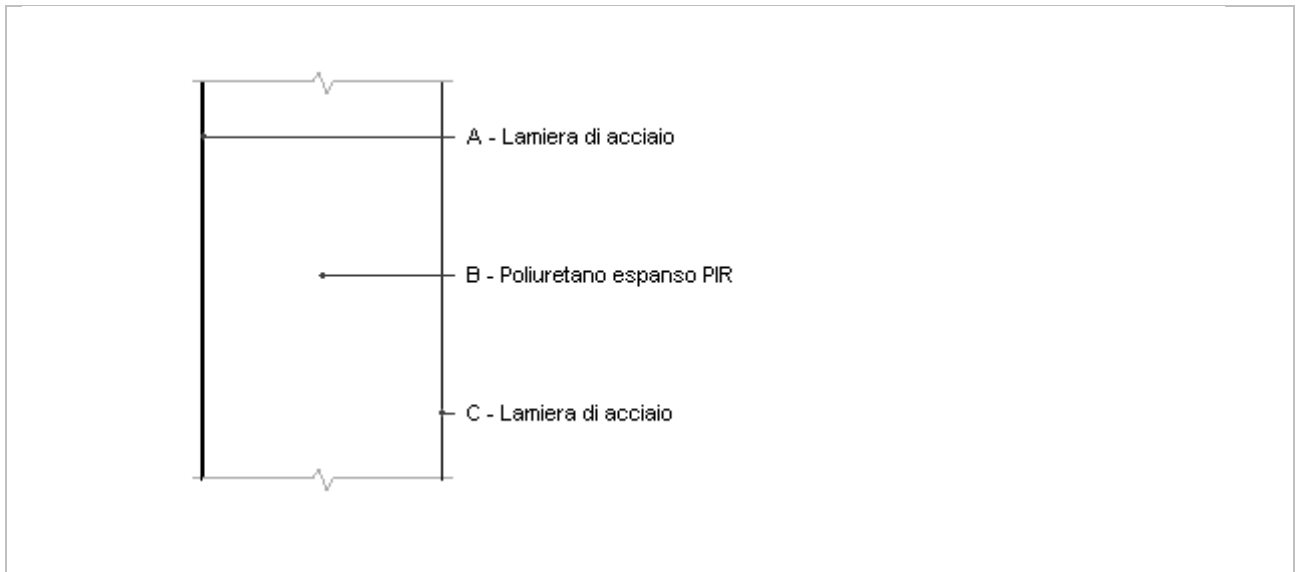
	Descrizione	Spessore	Conducibilità	Resistenza	Densità	Capacità	Fattore μ
		s	λ	R	ρ	C	μ
		mm	W/(mK)	m ² K/W	Kg/m ³	kJ/(kg K)	-

**RELAZIONE TECNICA SUL
CONSUMO ENERGETICO**

Prog.: **0073-2023**
Rev.: **01**
Data: **06/2023**

	Adduttanza interna (flusso orizzontale)	-	-	0,130	-	-	-
A	Lamiera di acciaio	0,6	80,000	0,000	7 870	0,46	999 999,0
B	Poliuretano espanso PIR	50,0	0,023	2,174	38	1,00	100,0
C	Lamiera di acciaio	0,6	80,000	0,000	7 870	0,46	999 999,0
D	Aria 150 mm (flusso orizzontale)	150,0	0,830	0,181	1	1,00	1,0
E	Lamiera di acciaio	0,6	80,000	0,000	7 870	0,46	999 999,0
F	Poliuretano espanso PIR	50,0	0,023	2,174	38	1,00	100,0
G	Lamiera di acciaio	0,6	80,000	0,000	7 870	0,46	999 999,0
	Adduttanza interna (flusso orizzontale)	-	-	0,130	-	-	-
	TOTALE	252,4		4,789			

P04_Pannello sandwich da non riscaldato verso esterno 100 mm



Spessore	101,2 mm	Trasmittanza	0,221 W/m ² K
Resistenza	4,518 m ² K/W	Massa superf.	13 kg/m ²
Tipologia	Parete		
Descrizione			

Stratigrafia

	Descrizione	Spessore s	Conducibilità λ	Resistenza R	Densità ρ	Capacità C	Fattore μ
		mm	W/(mK)	m ² K/W	Kg/m ³	kJ/(kg K)	-

**RELAZIONE TECNICA SUL
CONSUMO ENERGETICO**

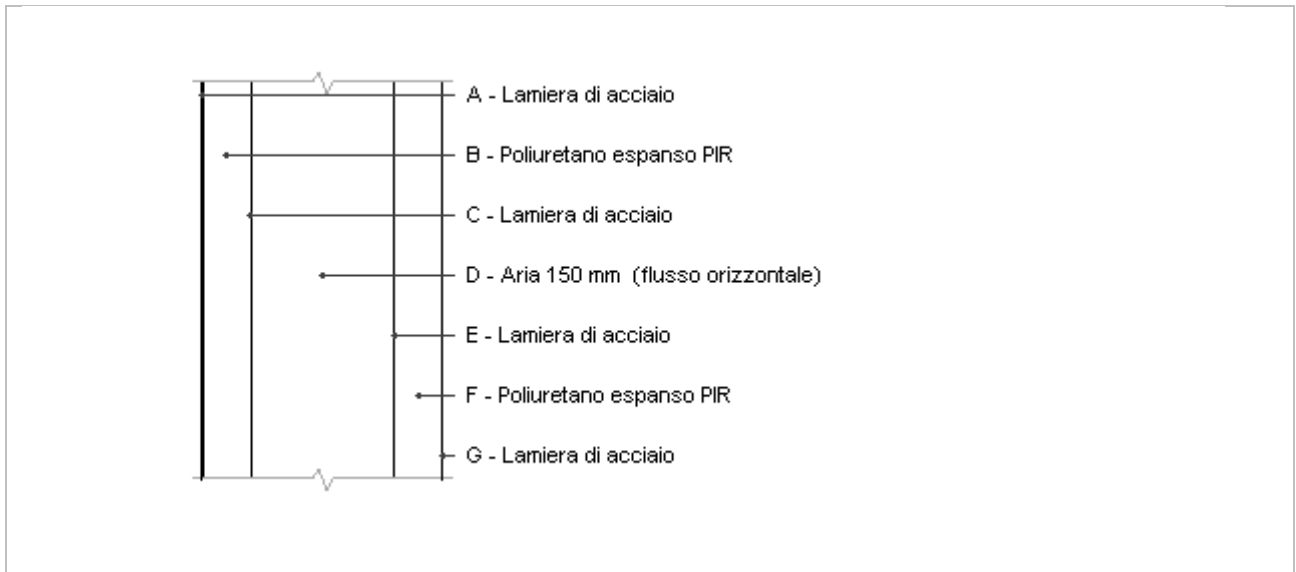
Prog.: **0073-2023**

Rev.: **01**

Data: **06/2023**

	Adduttanza interna (flusso orizzontale)	-	-	0,130	-	-	-
A	Lamiera di acciaio	0,6	80,000	0,000	7 870	0,46	999 999,0
B	Poliuretano espanso PIR	100,0	0,023	4,348	38	1,00	100,0
C	Lamiera di acciaio	0,6	80,000	0,000	7 870	0,46	999 999,0
	Adduttanza esterna (flusso orizzontale)	-	-	0,040	-	-	-
	TOTALE	101,2		4,518			

P06_Parete verso interno_Pannello sandwich 2x50 mm



Spessore	252,4 mm	Trasmittanza	0,209 W/m ² K
Resistenza	4,789 m ² K/W	Massa superf.	23 kg/m ²
Tipologia	Parete		
Descrizione	Pannello CAM		

Stratigrafia

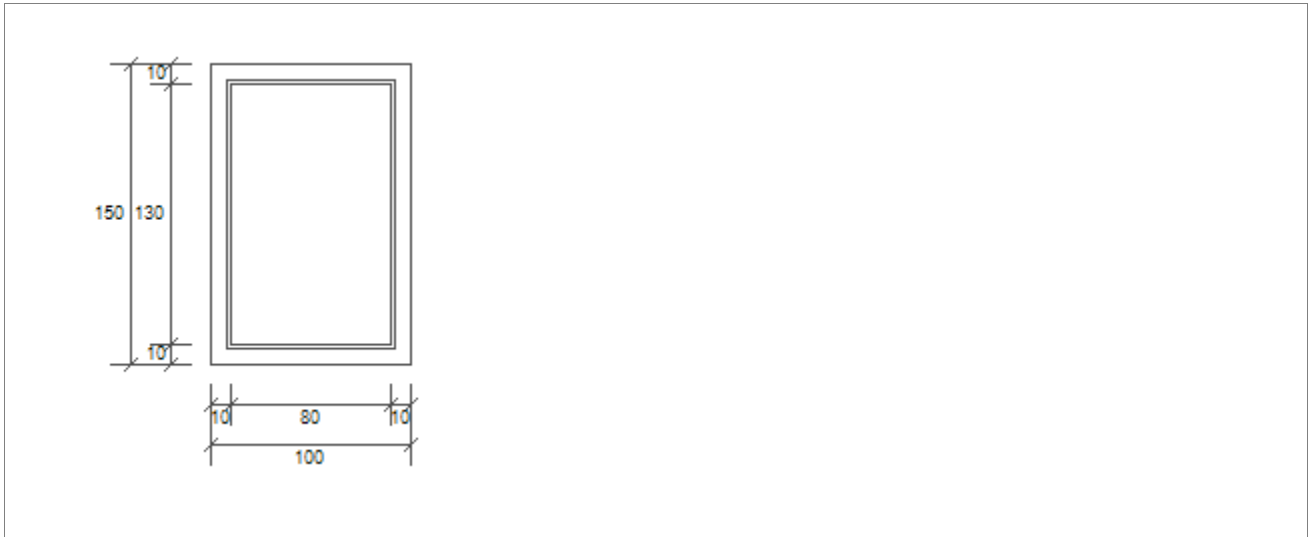
	Descrizione	Spes sore s	Condut tività λ	Resist enza R	Densit à ρ	Capaci tà C	Fattore μ
		mm	W/(mK)	m ² K/ W	Kg/m ³	kJ/(kg K)	-

**RELAZIONE TECNICA SUL
CONSUMO ENERGETICO**

Prog.: **0073-2023**
Rev.: **01**
Data: **06/2023**

	Adduttanza interna (flusso orizzontale)	-	-	0,130	-	-	-
A	Lamiera di acciaio	0,6	80,000	0,000	7 870	0,46	999 999,0
B	Poliuretano espanso PIR	50,0	0,023	2,174	38	1,00	100,0
C	Lamiera di acciaio	0,6	80,000	0,000	7 870	0,46	999 999,0
D	Aria 150 mm (flusso orizzontale)	150,0	0,830	0,181	1	1,00	1,0
E	Lamiera di acciaio	0,6	80,000	0,000	7 870	0,46	999 999,0
F	Poliuretano espanso PIR	50,0	0,023	2,174	38	1,00	100,0
G	Lamiera di acciaio	0,6	80,000	0,000	7 870	0,46	999 999,0
	Adduttanza interna (flusso orizzontale)	-	-	0,130	-	-	-
	TOTALE	252,4		4,789			

W01 - 100x150 Alluminio DV



Larghezza	L	100 cm
Altezza	H	150 cm
Area del vetro	Ag	1,040 m ²
Area del telaio	Af	0,460 m ²
Area totale del serramento	Aw	1,500 m ²
Perimetro del vetro	p	4,200 m
Trasmittanza	Uw	1,284 W/(m ² K)
Trasmittanza corretta	Uw,co rr	1,284 W/(m ² K)

Vetro

Tipologia	tipo	Doppio vetro con rivestimento basso-emissivo
Trasmittanza	Ug	1,123 W/(m ² K)
Coeff di trasmissione solare	ggl	0,670
Emissività	ε	0,837

RELAZIONE TECNICA SUL CONSUMO ENERGETICO

Prog.: 0073-2023
Rev.: 01
Data: 06/2023

Telaio

Materiale		Metallo
Spessore	sf	52 mm
Tipologia	tipo	Con taglio termico
Distanziatore	dist	Plastica
Trasmittanza	Uf	1,100 W/(m ² K)
Ponte termico tra vetro e telaio	ψ_{fg}	0,060 W/(mK)

Schermature mobili

Tipo schermatura	Tenda
Colore	-
Posizione	Tendaggi bianchi - Interna
Trasparenza	-

Fattore di schermatura diffuso	g,gl,sh, d	-
Fattore di schermatura diretto	g,gl,sh, b	-
Fattore di schermatura tende	g,gl,sh/ g,gl	0,65

Chiusura oscurante

Tipo chiusura	-
Permeabilità	-

Resistenza termica aggiuntiva dovuta alla chiusura ΔR 0,000 m²K/W

Permeabilità all'aria

Classe permeabilità all'aria del serramento secondo UNI 1026
(MIN 1-MAX 4)

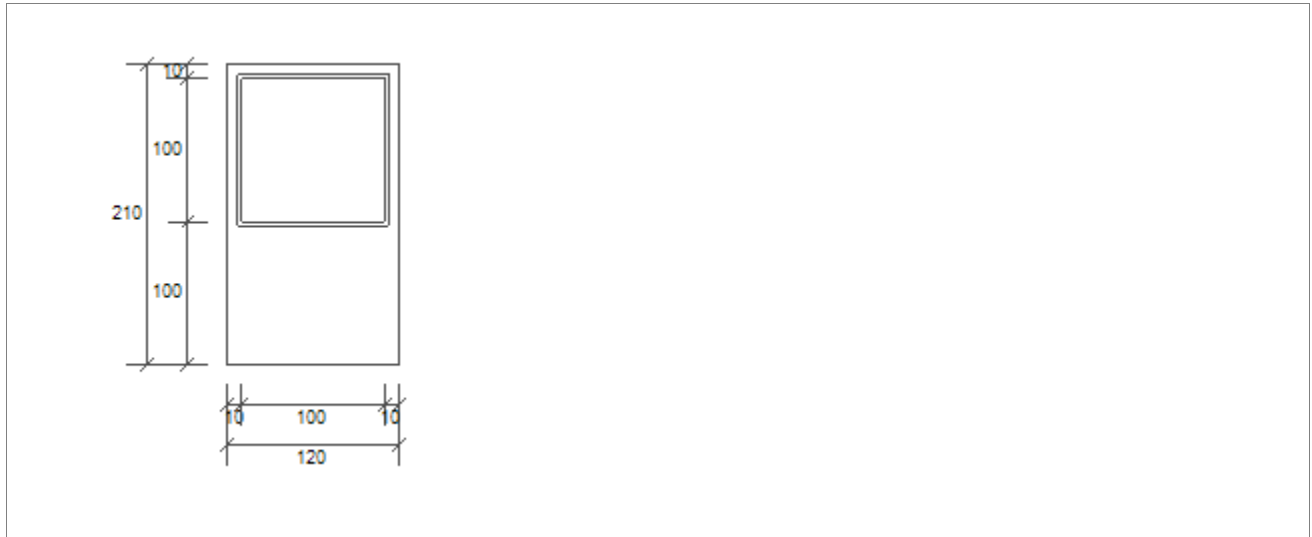
Non dichiarato

La classe di permeabilità all'aria è indicata per i serramenti in funzione dei dati dichiarati dal produttore.

Strutture associate al serramento

Strutture opache e ponti termici	Area [m ²] o lunghezza [m]	Trasmittanza W/(m ² K) o W/(mK)
Z03_Parete - serramento (Ponte termico)	5,0	0,092

W02 - 120x210 Alluminio DV



Larghezza	L	120 cm
Altezza	H	210 cm
Area del vetro	Ag	1,000 m ²
Area del telaio	Af	1,520 m ²
Area totale del serramento	Aw	2,520 m ²
Perimetro del vetro	p	4,000 m
Trasmittanza	Uw	1,179 W/(m ² K)
Trasmittanza corretta	Uw,co rr	1,179 W/(m ² K)

Vetro

Tipologia	tipo	Doppio vetro con rivestimento basso-emissivo
Trasmittanza	Ug	1,100 W/(m ² K)
Coeff di trasmissione solare	ggl	0,670
Emissività	ε	0,837

Telaio

Materiale		Metallo
Spessore	sf	52 mm
Tipologia	tipo	Con taglio termico
Distanziatore	dist	Plastica
Trasmittanza	Uf	1,100 W/(m ² K)
Ponte termico tra vetro e telaio	ψ_{fg}	0,050 W/(mK)

Schermature mobili

Tipo schermatura	Tapparelle
Colore	Bianco
Posizione	Schermatura esterna
Trasparenza	Opaca

Fattore di schermatura diffuso	g,gl,sh, d	0,29
Fattore di schermatura diretto	g,gl,sh, b	0,11
Fattore di schermatura tende	g,gl,sh/ g,gl	-

Chiusura oscurante

Tipo chiusura	-
Permeabilità	-

Resistenza termica aggiuntiva dovuta alla chiusura ΔR 0,000 m²K/W

Permeabilità all'aria

Classe permeabilità all'aria del serramento secondo UNI 1026
(MIN 1-MAX 4)

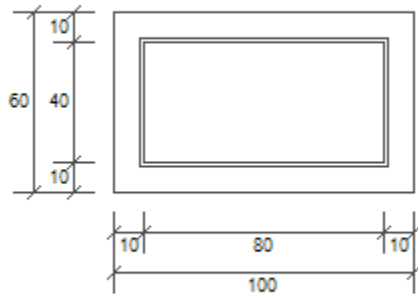
Non dichiarato

La classe di permeabilità all'aria è indicata per i serramenti in funzione dei dati dichiarati dal produttore.

Strutture associate al serramento

Strutture opache e ponti termici	Area [m ²] o lunghezza [m]	Trasmittanza W/(m ² K) o W/(mK)
Z03_Parete - serramento (Ponte termico)	6,6	0,092

W03 - 100x60 Alluminio DV



Larghezza	L	100 cm
Altezza	H	60 cm
Area del vetro	Ag	0,320 m ²
Area del telaio	Af	0,280 m ²
Area totale del serramento	Aw	0,600 m ²
Perimetro del vetro	p	2,400 m
Trasmittanza	Uw	1,300 W/(m ² K)
Trasmittanza corretta	Uw,co rr	1,300 W/(m ² K)

Vetro

Tipologia	tipo	Doppio vetro con rivestimento basso-emissivo
Trasmittanza	Ug	1,100 W/(m ² K)
Coeff di trasmissione solare	ggl	0,670
Emissività	ε	0,837

Telaio

Materiale		Metallo
Spessore	sf	52 mm
Tipologia	tipo	Con taglio termico
Distanziatore	dist	Plastica
Trasmittanza	Uf	1,100 W/(m ² K)
Ponte termico tra vetro e telaio	ψ_{fg}	0,050 W/(mK)

Schermature mobili

Tipo schermatura	Tapparelle
Colore	Bianco
Posizione	Schermatura esterna
Trasparenza	Opaca

Fattore di schermatura diffuso	g,gl,sh, d	0,29
Fattore di schermatura diretto	g,gl,sh, b	0,11
Fattore di schermatura tende	g,gl,sh/ g,gl	-

Chiusura oscurante

Tipo chiusura	-
Permeabilità	-

Resistenza termica aggiuntiva dovuta alla chiusura ΔR 0,000 m²K/W

Permeabilità all'aria

Classe permeabilità all'aria del serramento secondo UNI 1026
(MIN 1-MAX 4)

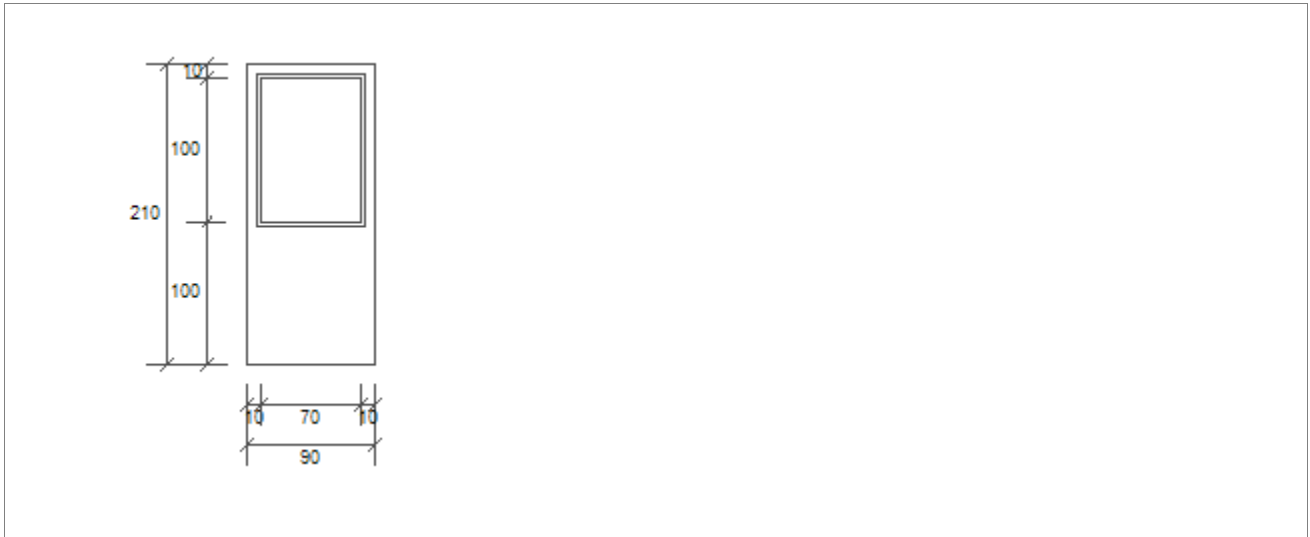
Non dichiarato

La classe di permeabilità all'aria è indicata per i serramenti in funzione dei dati dichiarati dal produttore.

Strutture associate al serramento

Strutture opache e ponti termici	Area [m ²] o lunghezza [m]	Trasmittanza W/(m ² K) o W/(mK)
Z03_Parete - serramento (Ponte termico)	3,2	0,092

W04 - 90x210 Alluminio DV



Larghezza	L	90 cm
Altezza	H	210 cm
Area del vetro	Ag	0,700 m ²
Area del telaio	Af	1,190 m ²
Area totale del serramento	Aw	1,890 m ²
Perimetro del vetro	p	3,400 m
Trasmittanza	Uw	1,190 W/(m ² K)
Trasmittanza corretta	Uw,co rr	1,190 W/(m ² K)

Vetro

Tipologia	tipo	Doppio vetro con rivestimento basso-emissivo
Trasmittanza	Ug	1,100 W/(m ² K)
Coeff di trasmissione solare	ggl	0,670
Emissività	ε	0,837

Telaio

Materiale		Metallo
Spessore	sf	52 mm
Tipologia	tipo	Con taglio termico
Distanziatore	dist	Plastica
Trasmittanza	Uf	1,100 W/(m ² K)
Ponte termico tra vetro e telaio	ψ_{fg}	0,050 W/(mK)

Schermature mobili

Tipo schermatura	Tenda veneziana
Colore	Bianco
Posizione	Schermatura interna
Trasparenza	Opaca

Fattore di schermatura diffuso	g,gl,sh, d	0,50
Fattore di schermatura diretto	g,gl,sh, b	0,43
Fattore di schermatura tende	g,gl,sh/ g,gl	-

Chiusura oscurante

Tipo chiusura	-
Permeabilità	-

Resistenza termica aggiuntiva dovuta alla chiusura ΔR 0,000 m²K/W

Permeabilità all'aria

Classe permeabilità all'aria del serramento secondo UNI 1026
(MIN 1-MAX 4)

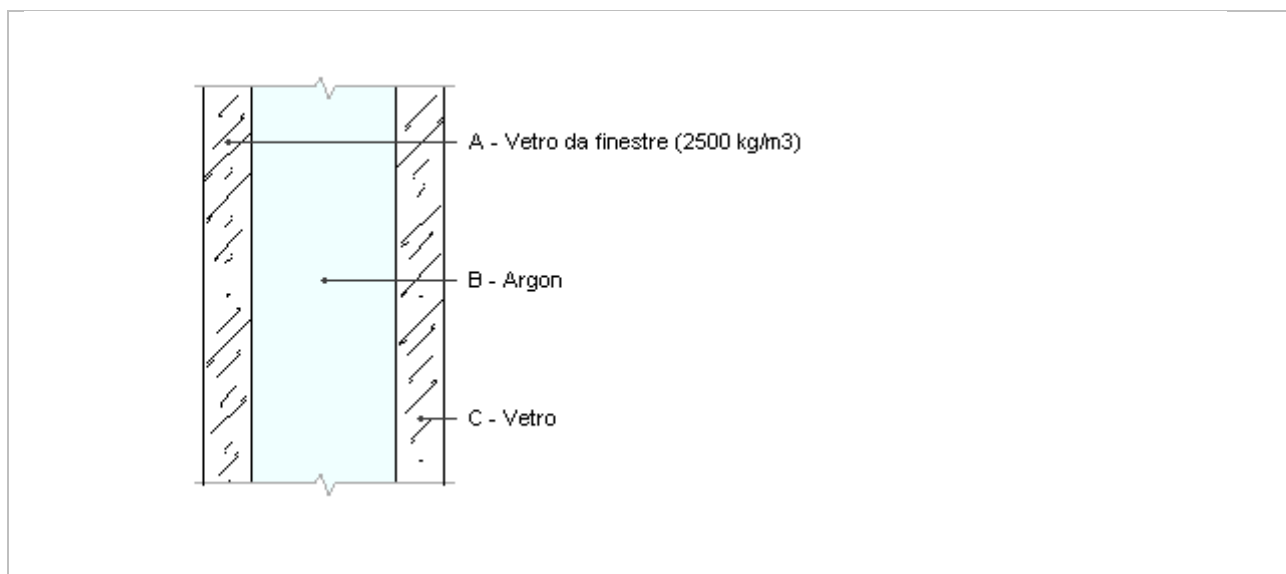
Non dichiarato

La classe di permeabilità all'aria è indicata per i serramenti in funzione dei dati dichiarati dal produttore.

Strutture associate al serramento

Strutture opache e ponti termici	Area [m ²] o lunghezza [m]	Trasmittanza W/(m ² K) o W/(mK)
Z03_Parete - serramento (Ponte termico)	6,0	0,092

V01_Doppio vetro BE [4-12-4] Argon



Numero
lastre

2

Resistenza R 0,891 m²K/W

Trasmittanza 1,123 W/m²K

Spessore
vetro

20,0 mm

Descrizione

Stratigrafia

Strato	Spes sore s	Condut tività λ	Emiss ività norm ale intern a □ni	Emissi vità normal e estern a □ne	Dens ità ρ	Visco sità dina mica μ	Capa cità C
	mm	W/(mK)	-	-	Kg/m ³	10- 5kg/ ms	kJ/(k gK)

**RELAZIONE TECNICA SUL
CONSUMO ENERGETICO**

Prog.: **0073-2023**
Rev.: **01**
Data: **06/2023**

	Adduttanza interna (flusso orizzontale)	-	-	0,000	0,000	-	-	-
A	Vetro da finestre (2500 kg/m3)	4,0	1,000	0,000	0,000	2 500	0,0	0,84
B	Argon	12,0	0,017	0,000	0,000	2	2,2	0,52
C	Vetro	4,0	1,000	0,890	0,890	2 500	0,0	0,84
	Adduttanza esterna (flusso orizzontale)	-	-	0,000	0,000	-	-	-
	TOTALE	20,0						

Resistenze

Costanti dipendenti dall'orientamento del vetro: A = , N =

		Emissività normale interna ϵ_i	Emissività normale esterna ϵ_{ne}	Salto termico intercapedine ΔT °C	Conduttanza radiativa h_r W/m²K	Conduttanza lastra h_s W/m²K	Resistenza termica R m²K/W
	Strato	-	-	-	-	-	0,130
	Adduttanza interna (flusso orizzontale)	-	-	-	-	-	0,130
	Adduttanza esterna (flusso orizzontale)	-	-	-	-	-	0,040

RELAZIONE DI CALCOLO DEL PONTE TERMICO

Calcolo della trasmittanza lineica del ponte termico e verifica del rischio di formazione di muffa

EDIFICIO	Via Argine S. Marco Inferiore - Musile di Piave (VE)
RELAZIONE a cura di	Ing. Giambattista Parietti
DATA	20/06/2023
	Firma: _____

INDICE

- 1. PREMESSA METODOLOGICA**
- 2. NORMATIVA DI RIFERIMENTO e METODO DI CALCOLO**
- 3. VALIDAZIONE DEL METODO DI CALCOLO**

- 4.4 DETTAGLI DEL PONTE TERMICO - Z01_Parete - copertura piana**
- 4.5 CONDIZIONI AL CONTORNO**
- 4.6 DISCRETIZZAZIONE DEGLI ELEMENTI**
- 4.7 CURVE DI TEMPERATURA**
- 4.8 RISULTATI DI CALCOLO**
- 4.9 VERIFICA DI ASSENZA DI FORMAZIONE DI MUFFA**

- 5.4 DETTAGLI DEL PONTE TERMICO - Z02_Parete - pavimento su terreno**
- 5.5 CONDIZIONI AL CONTORNO**
- 5.6 DISCRETIZZAZIONE DEGLI ELEMENTI**
- 5.7 CURVE DI TEMPERATURA**
- 5.8 RISULTATI DI CALCOLO**
- 5.9 VERIFICA DI ASSENZA DI FORMAZIONE DI MUFFA**

- 6.4 DETTAGLI DEL PONTE TERMICO - Z03_Parete - serramento**
- 6.5 CONDIZIONI AL CONTORNO**
- 6.6 DISCRETIZZAZIONE DEGLI ELEMENTI**
- 6.7 CURVE DI TEMPERATURA**
- 6.8 RISULTATI DI CALCOLO**
- 6.9 VERIFICA DI ASSENZA DI FORMAZIONE DI MUFFA**

- 7.4** DETTAGLI DEL PONTE TERMICO - Z04_Parete esterna - parete interna
- 7.5** CONDIZIONI AL CONTORNO
- 7.6** DISCRETIZZAZIONE DEGLI ELEMENTI
- 7.7** CURVE DI TEMPERATURA
- 7.8** RISULTATI DI CALCOLO
- 7.9** VERIFICA DI ASSENZA DI FORMAZIONE DI MUFFA

1. PREMESSA

Il ponte termico è una discontinuità dell'involucro edilizio nella quale la resistenza termica non è uniforme e cambia in modo significativo; i ponti termici localizzati per la maggioranza dei casi nelle giunzioni tra gli elementi e provocano due effetti:

- Modifica del flusso termico
- Modifica della temperatura superficiale

rispetto agli stessi elementi privi di ponte termico.

La presente relazione riporta la valutazione della trasmittanza lineica ψ del ponte termico tramite analisi ad elementi finiti, per ponti termico geometrico o strutturale.

Per ciascun ponte termico è analizzata la distribuzione del flusso termico, il coefficiente di accoppiamento termico e la mappa delle temperature interne al nodo. La valutazione del rischio di formazione di muffa e quindi di condensa superficiale si ottiene valutando la temperatura superficiale raggiunta sulla faccia interna.

2. NORMA DI RIFERIMENTO E METODO DI CALCOLO

Di seguito le norme di riferimento utilizzate per il calcolo.

UNI EN ISO 10211 – Thermal bridges in building construction – Heat flows and surface temperatures

General calculation methods.

UNI EN ISO 13788 - Hygrothermal performance of building components and building elements – Internal

surface temperature to avoid critical surface humidity and interstitial condensation - Calculation methods

UNI EN ISO 6946 - Building components and building elements - Thermal resistance and thermal

transmittance - Calculation method

Il metodo di calcolo utilizzato nella valutazione del ponte termico si basa su quanto indicato dalla norma UNI EN ISO 10211.

La norma specifica la definizione dei limiti geometrici del modello e dei criteri da adottare per la sua suddivisione, le condizioni termiche al contorno, i valori termici e le relazioni da utilizzare.

La norma si fonda sulle seguenti ipotesi:

- le condizioni termiche si intendono stazionarie
- tutte le proprietà fisiche sono indipendenti dalla temperatura
- non ci sono sorgenti di calore all'interno delle strutture edilizie

3. VALIDAZIONE DEL METODO DI CALCOLO

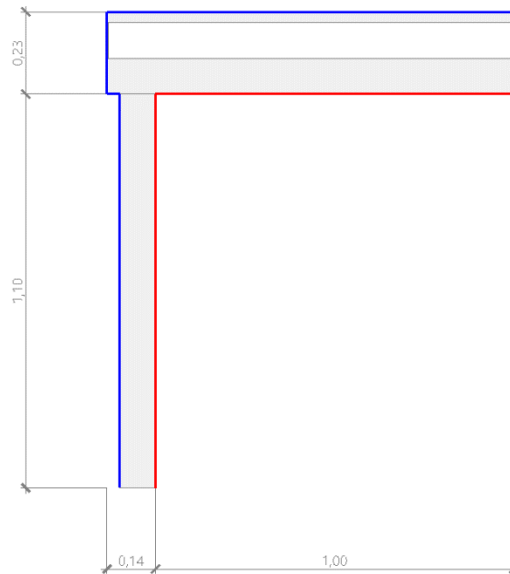
L'Appendice A della norma UNI 10211 riporta le condizioni generali e i requisiti che deve rispettare il metodo numerico per considerarsi validato.

Il presente metodo numerico rispetta tutte le regole contenute nell'appendice A. In particolare:

- Fornisce le temperature e i flussi termici
- Consente di calcolare temperature e flussi termici anche in posizioni diverse da quelle indicate.
- Converge alla soluzione analitica (dove esiste) all'aumentare delle suddivisioni.
- Determina il numero di suddivisioni seguendo questa regola: esegue la somma dei valori assoluti di tutti i flussi termici che entrano nell'oggetto considerato, per n suddivisioni e per $2n$ suddivisioni. La differenza tra i due risultati non deve essere maggiore del 2% o in alternativa si aumenta il numero di suddivisioni fino a che il criterio non è soddisfatto.
- Le iterazioni di calcolo proseguono finché la somma di tutti i flussi termici (positivi o negativi) entranti nell'oggetto, divisa per la metà della somma dei valori assoluti dei medesimi flussi termici è minore di 0.001

4.4 DETTAGLI DEL PONTE TERMICO - Z01_Parete - copertura piana

Si riporta di seguito il modello geometrico di ponte termico con il dettaglio dei materiali componenti e delle conduttività termiche utilizzate nella valutazione della trasmittanza.



Dettaglio dei materiali

	Materiale	λ [W/mK]
1	Poliuretano espanso PIR	0,023
2	Poliuretano espanso PIR	0,023
4	Aria 100 mm (flusso verticale ascendente)	0,630
5	Poliuretano espanso PIR	0,023
5	Acciaio	52,000

4.5 CONDIZIONI AL CONTORNO

La valutazione è eseguita nel comune di Musile di Piave - (VE).

Di seguito il dettaglio delle condizioni al contorno utilizzate per la valutazione della trasmittanza termica lineica.

Nelle condizioni al contorno sono specificati l'ambiente interno e uno o più ambienti esterni con le relative resistenze di calcolo.

Dettaglio dei confini

	Confine	T [°C]	R [m2K/W]
1	Temperatura esterna: direzione ascendente del flusso	2,8	0,04
2	Temperatura esterna: direzione ascendente del flusso	2,8	0,04
3	Temperatura esterna: direzione orizzontale del flusso	2,8	0,04
4	Temperatura esterna: direzione orizzontale del flusso	2,8	0,04
5	Temperatura interna: direzione orizzontale del flusso	20,0	0,13
6	Temperatura interna: direzione ascendente del flusso	20,0	0,10

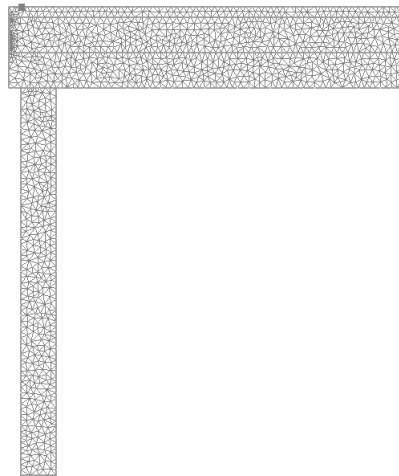
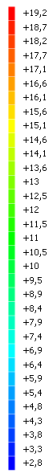
4.6 DISCRETIZZAZIONE DEGLI ELEMENTI

Per portare a convergenza il risultato finale il Ponte termico calcolato è stato suddiviso in triangoli, la mesh di calcolo.

Numero di triangoli utilizzati per la discretizzazione degli elementi 1 461

Di seguito la rappresentazione della mesh di calcolo del ponte termico:

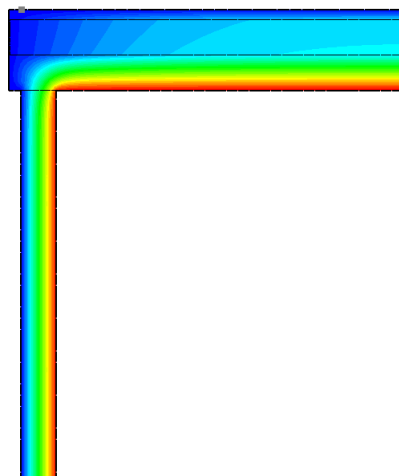
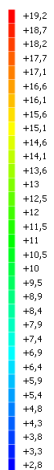
Temperatura T [°C] (calcolo psi)
Z01_Parete - copertura



4.7 CURVE DI TEMPERATURA

In base al modello di ponte termico e alle sue condizioni al contorno si ottiene la seguente distribuzione di temperatura all'interno degli elementi:

Temperatura T [°C] (calcolo psi)
Z01_Parete - copertura



4.8 RISULTATI DI CALCOLO

Di seguito vengono esposti i risultati di calcolo relativi alla struttura di ponte termico.

Il principale risultato il flusso termico per ogni metro di lunghezza e per ogni grado di differenza di temperatura: la trasmittanza termica lineica del ponte termico viene ottenuta per differenza tra la dispersione del modello geometrico comprensivo di ponte termico e la dispersione in assenza di discontinuità.

Flusso Φ	7,43	W/m
Ψ interno	0,0203	W/mK
Ψ esterno	-0,0474	W/mK
Coefficiente di accoppiamento L2D	0,43	W/mK
Temperatura minima	17,8	°C

4.9 VERIFICA DI ASSENZA DI FORMAZIONE DI MUFFA

Il metodo di calcolo della condensa superficiale su superficie interna è contenuto nella norma UNI EN ISO 13788 che prevede il calcolo del fattore di temperatura superficiale f_{Rsi} calcolato come segue

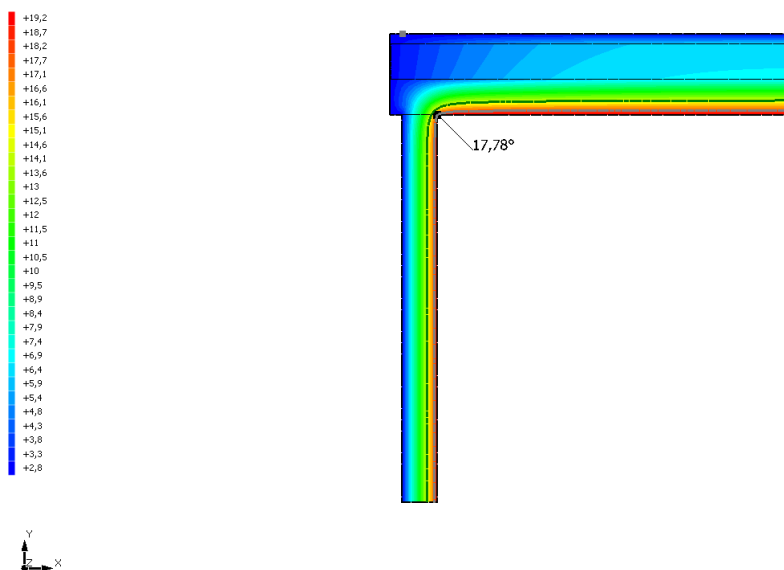
$$f_{Rsi} = \frac{\theta_{si} - \theta_e}{\theta_i - \theta_e}$$

Con θ_{si} temperatura superficiale interna [°C]

θ_e temperatura dell'aria esterna [°C]

θ_i temperatura dell'aria interna [°C]

Temperatura T [°C] (calcolo psi)
Z01_Parete - copertura



La norma precisa che al fine di evitare formazione di muffa, l'umidità superficiale critica da considerare nella valutazione della pressione di saturazione deve essere pari all' 80%.

I dati climatici utilizzati nella verifica sono riferiti al comune di Musile di Piave, VE

Di seguito il dettaglio di pressione e temperatura valutati lungo tutto l'arco dell'anno:

Tipo di calcolo

Classi di concentrazione

Classe di edificio

Edifici con indice di affollamento non noto

Mese	Te [°C]	ϕ_e [%]	Pe [Pa]	Δp [Pa]	Pi [Pa]	Psi [Pa]	Tsi [°C]	Ti [°C]	fRsi
ottobre	13,50	81,7	1 263,6	330,8	1 594,3	1 992,9	17,45	20,00	0,6081
novembre	8,80	87,0	984,9	497,6	1 482,5	1 853,1	16,31	20,00	0,6702
dicembre	4,60	81,5	691,0	646,7	1 337,7	1 672,1	14,70	20,00	0,6560
gennaio	2,80	78,7	587,7	710,6	1 298,3	1 622,8	14,24	20,00	0,6651

**RELAZIONE TECNICA SUL
CONSUMO ENERGETICO**

Prog.: **0073-2023**

Rev.: **01**

Data: **06/2023**

febbraio	4,70	78,2	667,7	643,2	1 310,8	1 638,5	14,39	20,00	0,6333
marzo	8,60	73,2	817,5	504,7	1 322,2	1 652,8	14,52	20,00	0,5196
aprile	12,90	65,6	975,6	352,1	1 327,6	1 659,6	14,59	20,00	0,2375

Te temperatura esterna media mensile [°C]

φe umidità relativa esterna [%]

Pe pressione esterna [Pa]

ΔP variazione di pressione [Pa]

Pi pressione interna [Pa]

Psi pressione di saturazione interna [Pa]

Tsi Temperatura superficiale interna [°C]

fRsi Fattore di resistenza superficiale

ESITO DELLA VERIFICA DI ASSENZA DI MUFFA

Fattore di resistenza superficiale nel mese critico
fRsi 0,871

Fattore di resistenza superficiale nel mese critico
fRsiAmm 0,670

Mese critico Novembre

ESITO VERIFICA DI CONDENSA SUPERFICIALE
fRsi>fRsi,max: assenza di muffa

5.4 DETTAGLI DEL PONTE TERMICO - Z02_Parete - pavimento su terreno

Si riporta di seguito il modello geometrico di ponte termico con il dettaglio dei materiali componenti e delle conduttività termiche utilizzate nella valutazione della trasmittanza.



Dettaglio dei materiali

	Materiale	λ [W/mK]
1	Armato (con 1% di acciaio)	2,300
2	Poliuretano espanso PIR	0,023
3	Pannello in legnocemento a bordo liscio	0,230
4	Poliuretano espanso PIR	0,023
5	Aria	0,025
6	Armato (con 1% di acciaio)	2,300
7	Arenaria (silice)	2,300
8	Arenaria (silice)	2,300

5.5 CONDIZIONI AL CONTORNO

La valutazione è eseguita nel comune di Musile di Piave - (VE).

Di seguito il dettaglio delle condizioni al contorno utilizzate per la valutazione della trasmittanza termica lineica.

Nelle condizioni al contorno sono specificati l'ambiente interno e uno o più ambienti esterni con le relative resistenze di calcolo.

Dettaglio dei confini

	Confine	T [°C]	R [m2K/W]
1	Temperatura terreno: direzione ascendente del flusso	8,1	0,00
2	Temperatura esterna: direzione orizzontale del flusso	2,8	0,04
3	Temperatura esterna: direzione ascendente del flusso	2,8	0,17
4	Temperatura interna: direzione orizzontale del flusso	20,0	0,13
5	Temperatura interna: direzione discendente del flusso	20,0	0,17

5.6 DISCRETIZZAZIONE DEGLI ELEMENTI

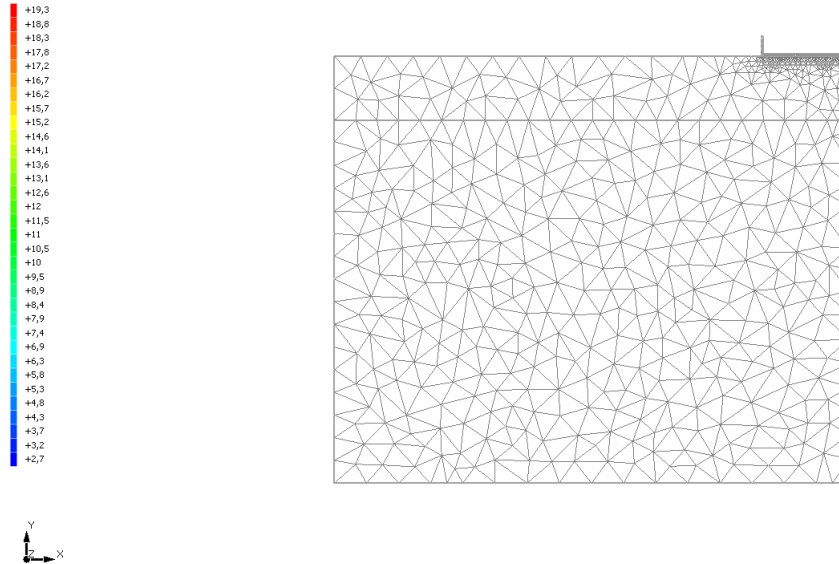
Per portare a convergenza il risultato finale il Ponte termico calcolato è stato suddiviso in triangoli, la mesh di calcolo.

Numero di triangoli utilizzati per la discretizzazione degli
elementi

1 673

Di seguito la rappresentazione della mesh di calcolo del ponte termico:

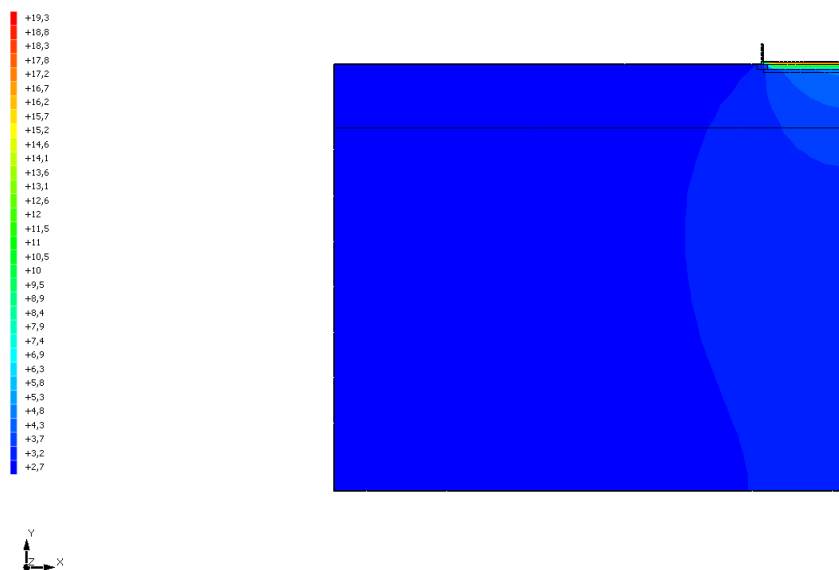
Temperatura T [°C] (calcolo psi)
ZZ_Parete - pavimento su terreno



5.7 CURVE DI TEMPERATURA

In base al modello di ponte termico e alle sue condizioni al contorno si ottiene la seguente distribuzione di temperatura all'interno degli elementi:

Temperatura T [°C] (calcolo psi)
ZZ_Parete - pavimento su terreno



5.8 RISULTATI DI CALCOLO

Di seguito vengono esposti i risultati di calcolo relativi alla struttura di ponte termico.

Il principale risultato il flusso termico per ogni metro di lunghezza e per ogni grado di differenza di temperatura: la trasmittanza termica lineica del ponte termico viene ottenuta per differenza tra la dispersione del modello geometrico comprensivo di ponte termico e la dispersione in assenza di discontinuità.

Flusso Φ	8,35	W/m
Ψ interno	0,0187	W/mK
Ψ esterno	0,0125	W/mK
Coefficiente di accoppiamento L2D	0,49	W/mK
Temperatura minima	18,7	°C

5.9 VERIFICA DI ASSENZA DI FORMAZIONE DI MUFFA

Il metodo di calcolo della condensa superficiale su superficie interna è contenuto nella norma UNI EN ISO 13788 che prevede il calcolo del fattore di temperatura superficiale f_{Rsi} calcolato come segue

$$f_{Rsi} = \frac{\theta_{si} - \theta_e}{\theta_i - \theta_e}$$

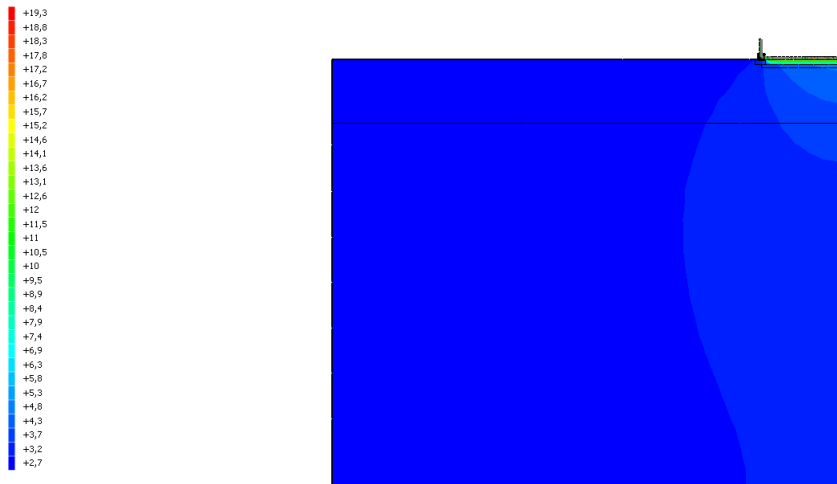
Con θ_{si} temperatura superficiale interna [°C]

θ_e temperatura dell'aria esterna [°C]

θ_i temperatura dell'aria interna [°C]

Temperatura T [°C] (calcolo psi)

Z2_Parete - pavimento su terreno



La norma precisa che al fine di evitare formazione di muffa, l'umidità superficiale critica da considerare nella valutazione della pressione di saturazione deve essere pari all' 80%.

I dati climatici utilizzati nella verifica sono riferiti al comune di Musile di Piave, VE

Di seguito il dettaglio di pressione e temperatura valutati lungo tutto l'arco dell'anno:

Tipo di calcolo

Umidità relativa interna costante

Classe di edificio

Edifici con indice di affollamento non noto

Contorno interno - esterno

Mese	Te [°C]	Ti [°C]	ϕ [%]	Pi [Pa]	Psi [Pa]	Tsi [°C]	fRsi
ottobre	13,50	20,00	65	1 635,9	2 044,8	17,86	0,6709
novembre	8,80	20,00	65	1 635,9	2 044,8	17,86	0,8090
dicembre	4,60	20,00	65	1 635,9	2 044,8	17,86	0,8611
gennaio	2,80	20,00	65	1 635,9	2 044,8	17,86	0,8756
febbraio	4,70	20,00	65	1 635,9	2 044,8	17,86	0,8602
marzo	8,60	20,00	65	1 635,9	2 044,8	17,86	0,8123

**RELAZIONE TECNICA SUL
CONSUMO ENERGETICO**

Prog.: **0073-2023**

Rev.: **01**

Data: **06/2023**

aprile	12,90	20,00	65	1 635,9	2 044,8	17,86	0,6987
--------	-------	-------	----	---------	---------	-------	--------

Contorno interno – altro contorno

Mese	Te [°C]	Ti [°C]	φ [%]	Pi [Pa]	Psi [Pa]	Tsi [°C]	fRsi
ottobre	15,86	20,00	65	1 635,9	2 044,8	17,86	0,4829
novembre	13,46	20,00	65	1 635,9	2 044,8	17,86	0,6728
dicembre	11,11	20,00	65	1 635,9	2 044,8	17,86	0,7593
gennaio	9,01	20,00	65	1 635,9	2 044,8	17,86	0,8053
febbraio	8,11	20,00	65	1 635,9	2 044,8	17,86	0,8200
marzo	9,06	20,00	65	1 635,9	2 044,8	17,86	0,8044
aprile	11,01	20,00	65	1 635,9	2 044,8	17,86	0,7620

Te temperatura esterna media mensile [°C]

Ti temperatura interna media mensile [°C]

φ umidità relativa interna [%]

Pi pressione interna [Pa]

Psi pressione di saturazione interna [Pa]

Tsi Temperatura superficiale interna [°C]

fRsi Fattore di resistenza superficiale

ESITO DELLA VERIFICA DI ASSENZA DI MUFFA

Fattore di resistenza superficiale nel mese critico
fRsi 0,924

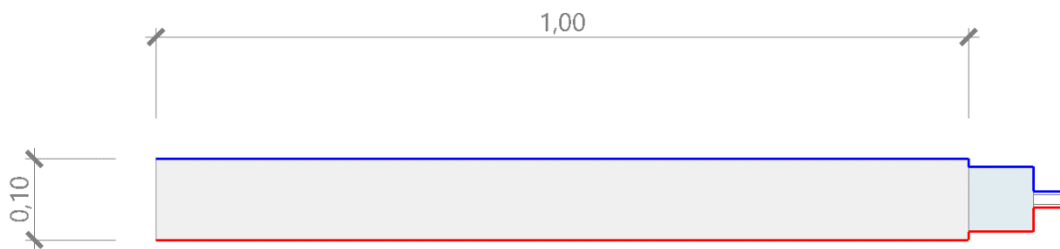
Fattore di resistenza superficiale nel mese critico
fRsiAmm 0,876

Mese critico Gennaio

ESITO VERIFICA DI CONDENSA SUPERFICIALE
fRsi > fRsi,max: assenza di muffa

6.4 DETTAGLI DEL PONTE TERMICO - Z03_Parete - serramento

Si riporta di seguito il modello geometrico di ponte termico con il dettaglio dei materiali componenti e delle conduttività termiche utilizzate nella valutazione della trasmittanza.



Dettaglio dei materiali

	Materiale	λ [W/mK]
1	Poliuretano espanso PIR	0,023
2	Policloruro di vinile (PVC)	0,170
3	Vetro	1,000
4	Argon	0,017
5	Vetro da finestre (2500 kg/m ³)	1,000

6.5 CONDIZIONI AL CONTORNO

La valutazione è eseguita nel comune di Musile di Piave - (VE).

Di seguito il dettaglio delle condizioni al contorno utilizzate per la valutazione della trasmittanza termica lineica.

Nelle condizioni al contorno sono specificati l'ambiente interno e uno o più ambienti esterni con le relative resistenze di calcolo.

Dettaglio dei confini

	Confine	T [°C]	R [m ² K/W]
1	Temperatura esterna: direzione ascendente del flusso	2,8	0,04
2	Temperatura interna: direzione ascendente del flusso	20,0	0,13
3	Temperatura esterna: direzione orizzontale del flusso	2,8	0,04
4	Temperatura esterna: direzione ascendente del flusso	2,8	0,04
5	Temperatura esterna: direzione orizzontale del flusso	2,8	0,04
6	Temperatura esterna: direzione ascendente del flusso	2,8	0,04
7	Temperatura interna: direzione orizzontale del flusso	20,0	0,17
8	Temperatura interna: direzione ascendente del flusso	20,0	0,13
9	Temperatura interna: direzione orizzontale del flusso	20,0	0,17
10	Temperatura interna: direzione ascendente del flusso	20,0	0,13

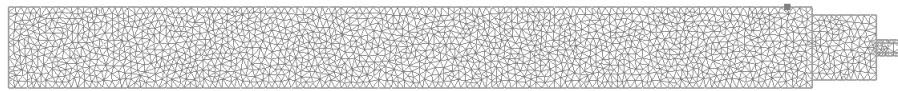
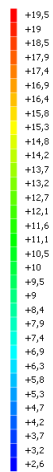
6.6 DISCRETIZZAZIONE DEGLI ELEMENTI

Per portare a convergenza il risultato finale il Ponte termico calcolato è stato suddiviso in triangoli, la mesh di calcolo.

Numero di triangoli utilizzati per la discretizzazione degli
elementi 1 886

Di seguito la rappresentazione della mesh di calcolo del ponte termico:

Temperatura T [°C] (calcolo psi)
Z13_Parete - cernamento

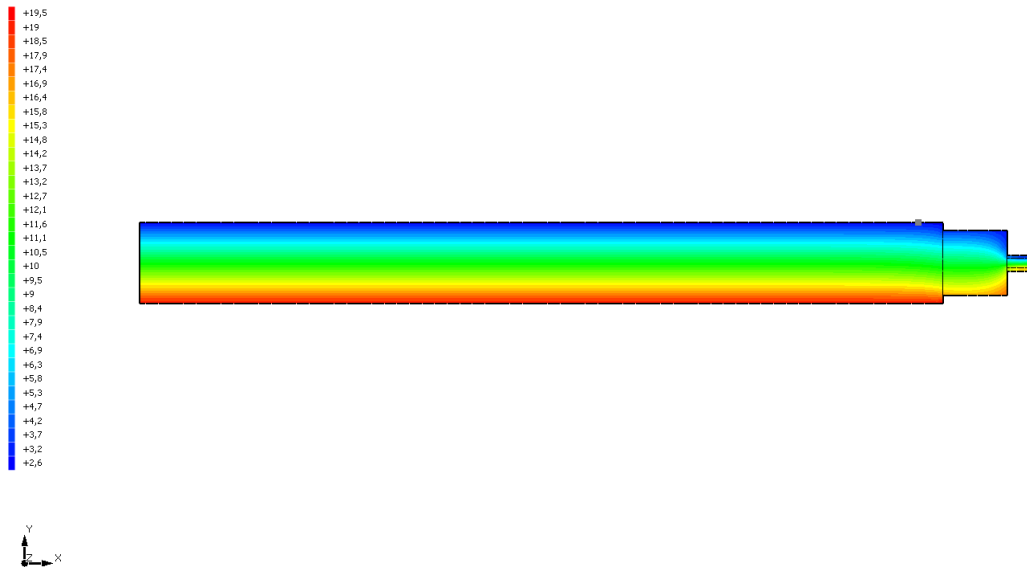


6.7 CURVE DI TEMPERATURA

In base al modello di ponte termico e alle sue condizioni al contorno si ottiene la seguente distribuzione di temperatura all'interno degli elementi:

Temperatura T [°C] (calcolo psi)

Z03_Parete - serramento



6.8 RISULTATI DI CALCOLO

Di seguito vengono esposti i risultati di calcolo relativi alla struttura di ponte termico. Il principale risultato il flusso termico per ogni metro di lunghezza e per ogni grado di differenza di temperatura: la trasmittanza termica lineica del ponte termico viene ottenuta per differenza tra la dispersione del modello geometrico comprensivo di ponte termico e la dispersione in assenza di discontinuità.

Flusso Φ	7,54	W/m
Ψ interno	0,0922	W/mK
Ψ esterno	0,0922	W/mK
Coefficiente di accoppiamento L2D	0,44	W/mK
Temperatura minima	17,2	°C

6.9 VERIFICA DI ASSENZA DI FORMAZIONE DI MUFFA

Il metodo di calcolo della condensa superficiale su superficie interna è contenuto nella norma UNI EN ISO 13788 che prevede il calcolo del fattore di temperatura superficiale f_{Rsi} calcolato come segue

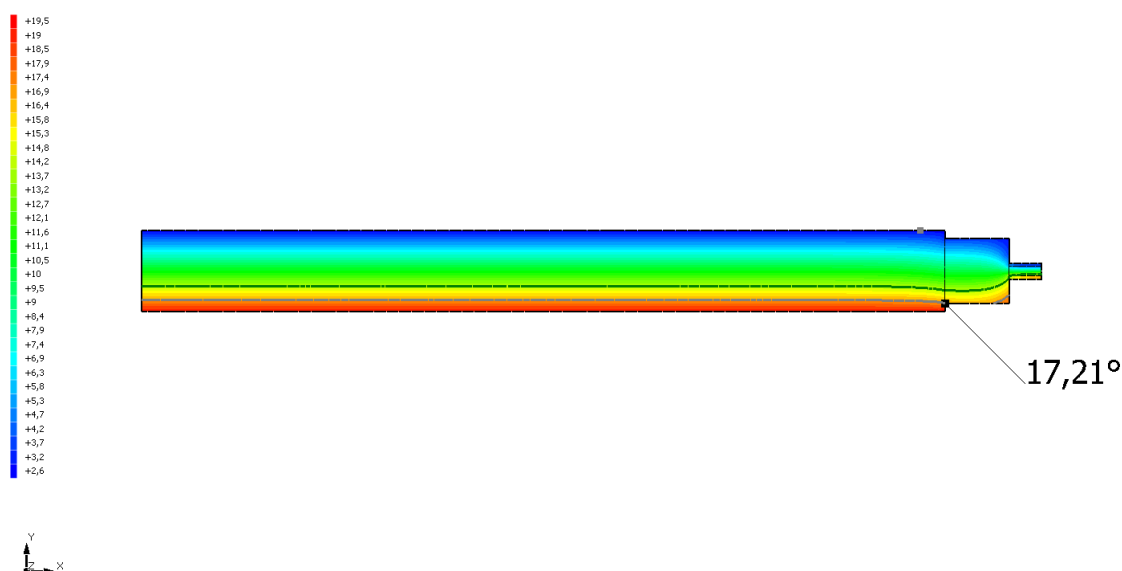
$$f_{Rsi} = \frac{\theta_{si} - \theta_e}{\theta_i - \theta_e}$$

Con θ_{si} temperatura superficiale interna [°C]

θ_e temperatura dell'aria esterna [°C]

θ_i temperatura dell'aria interna [°C]

Temperatura T [°C] (calcolo psi)
203_Parete - serramento



La norma precisa che al fine di evitare formazione di muffa, l'umidità superficiale critica da considerare nella valutazione della pressione di saturazione deve essere pari all' 80%.

I dati climatici utilizzati nella verifica sono riferiti al comune di Musile di Piave, VE

Di seguito il dettaglio di pressione e temperatura valutati lungo tutto l'arco dell'anno:

Tipo di calcolo

Classi di concentrazione

Classe di edificio

Edifici con indice di affollamento non noto

Mese	T_e [°C]	φ_e [%]	P_e [Pa]	Δp [Pa]	P_i [Pa]	P_{si} [Pa]	T_{si} [°C]	T_i [°C]	f_{Rsi}
------	------------	-----------------	------------	-----------------	------------	---------------	---------------	------------	-----------

RELAZIONE TECNICA SUL CONSUMO ENERGETICO

Prog.: **0073-2023**

Rev.: **01**

Data: **06/2023**

ottobre	13,50	81,7	1 263,6	330,8	1 594,3	1 992,9	17,45	20,00	0,6081
novembre	8,80	87,0	984,9	497,6	1 482,5	1 853,1	16,31	20,00	0,6702
dicembre	4,60	81,5	691,0	646,7	1 337,7	1 672,1	14,70	20,00	0,6560
gennaio	2,80	78,7	587,7	710,6	1 298,3	1 622,8	14,24	20,00	0,6651
febbraio	4,70	78,2	667,7	643,2	1 310,8	1 638,5	14,39	20,00	0,6333
marzo	8,60	73,2	817,5	504,7	1 322,2	1 652,8	14,52	20,00	0,5196
aprile	12,90	65,6	975,6	352,1	1 327,6	1 659,6	14,59	20,00	0,2375

Te temperatura esterna media mensile [°C]

φe umidità relativa esterna [%]

Pe pressione esterna [Pa]

ΔP variazione di pressione [Pa]

Pi pressione interna [Pa]

Psi pressione di saturazione interna [Pa]

Tsi Temperatura superficiale interna [°C]

fRsi Fattore di resistenza superficiale

ESITO DELLA VERIFICA DI ASSENZA DI MUFFA

Fattore di resistenza superficiale nel mese critico

fRsi

0,838

Fattore di resistenza superficiale nel mese critico

fRsiAmm

0,670

Mese critico

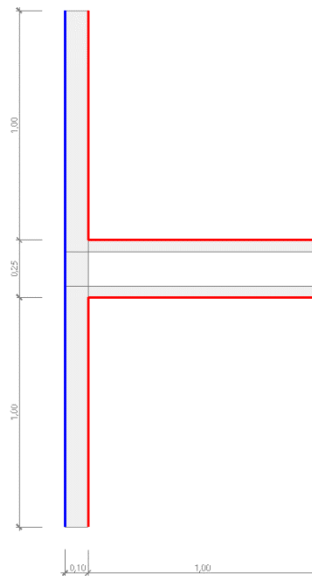
Novembre

ESITO VERIFICA DI CONDENSA
SUPERFICIALE

f_{rsi} > f_{rsi,max}: assenza di muffa

7.4 DETTAGLI DEL PONTE TERMICO - Z04_Parete esterna - parete interna

Si riporta di seguito il modello geometrico di ponte termico con il dettaglio dei materiali componenti e delle conduttività termiche utilizzate nella valutazione della trasmittanza.



Dettaglio dei materiali

	Materiale	λ [W/mK]
1	Poliuretano espanso PIR	0,023
2	Poliuretano espanso PIR	0,023
3	Poliuretano espanso PIR	0,023
4	Poliuretano espanso PIR	0,023
5	Aria 150 mm (flusso orizzontale)	0,830
6	Poliuretano espanso PIR	0,023

7.5 CONDIZIONI AL CONTORNO

La valutazione è eseguita nel comune di Musile di Piave - (VE).

Di seguito il dettaglio delle condizioni al contorno utilizzate per la valutazione della trasmittanza termica lineica.

Nelle condizioni al contorno sono specificati l'ambiente interno e uno o più ambienti esterni con le relative resistenze di calcolo.

Dettaglio dei confini

	Confine	T [°C]	R [m2K/W]
1	Temperatura esterna: direzione orizzontale del flusso	2,8	0,04
2	Temperatura interna: direzione orizzontale del flusso	20,0	0,13
3	Temperatura interna: direzione orizzontale del flusso	20,0	0,13
4	Temperatura interna: direzione orizzontale del flusso	20,0	0,13
5	Temperatura interna: direzione orizzontale del flusso	20,0	0,13

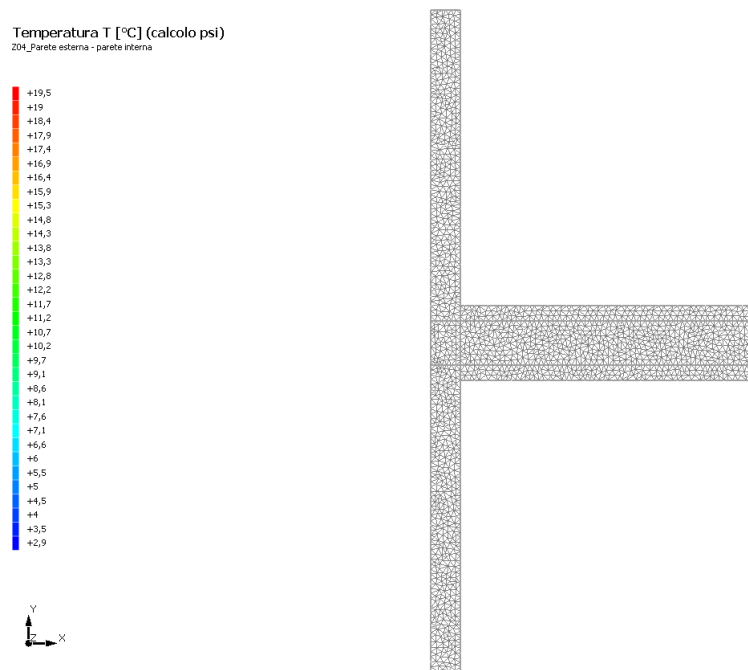
7.6 DISCRETIZZAZIONE DEGLI ELEMENTI

Per portare a convergenza il risultato finale il Ponte termico calcolato è stato suddiviso in triangoli, la mesh di calcolo.

Numero di triangoli utilizzati per la discretizzazione degli
elementi

1 715

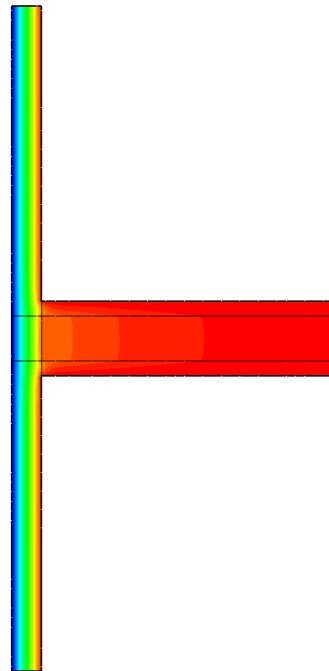
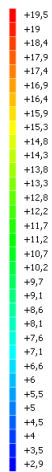
Di seguito la rappresentazione della mesh di calcolo del ponte termico:



7.7 CURVE DI TEMPERATURA

In base al modello di ponte termico e alle sue condizioni al contorno si ottiene la seguente distribuzione di temperatura all'interno degli elementi:

Temperatura T [°C] (calcolo psi)
204_Parete esterna - parete interna



7.8 RISULTATI DI CALCOLO

Di seguito vengono esposti i risultati di calcolo relativi alla struttura di ponte termico.

Il principale risultato il flusso termico per ogni metro di lunghezza e per ogni grado di differenza di temperatura: la trasmittanza termica lineica del ponte termico viene ottenuta per differenza tra la dispersione del modello geometrico comprensivo di ponte termico e la dispersione in assenza di discontinuità.

Flusso Φ	8,47	W/m
Ψ interno	0,0499	W/mK
Ψ esterno	-0,0054	W/mK
Coefficiente di accoppiamento L2D	0,49	W/mK
Temperatura minima	18,6	°C

7.9 VERIFICA DI ASSENZA DI FORMAZIONE DI MUFFA

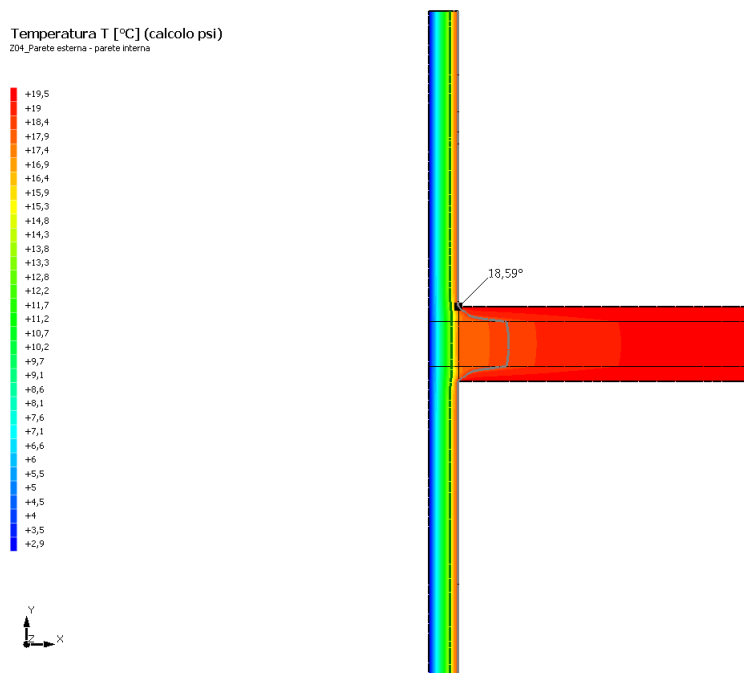
Il metodo di calcolo della condensa superficiale su superficie interna è contenuto nella norma UNI EN ISO 13788 che prevede il calcolo del fattore di temperatura superficiale f_{Rsi} calcolato come segue

$$f_{Rsi} = \frac{\theta_{si} - \theta_e}{\theta_i - \theta_e}$$

Con θ_{si} temperatura superficiale interna [°C]

θ_e temperatura dell'aria esterna [°C]

θ_i temperatura dell'aria interna [°C]



La norma precisa che al fine di evitare formazione di muffa, l'umidità superficiale critica da considerare nella valutazione della pressione di saturazione deve essere pari all' 80%. I dati climatici utilizzati nella verifica sono riferiti al comune di Musile di Piave, VE

Di seguito il dettaglio di pressione e temperatura valutati lungo tutto l'arco dell'anno:

Tipo di calcolo

Classi di concentrazione

Classe di edificio

Edifici con indice di affollamento non noto

Mese	Te [°C]	φ_e [%]	Pe [Pa]	Δp [Pa]	Pi [Pa]	Psi [Pa]	Tsi [°C]	Ti [°C]	fRsi
ottobre	13,50	81,7	1 263,6	330,8	1 594,3	1 992,9	17,45	20,00	0,6081
novembre	8,80	87,0	984,9	497,6	1 482,5	1 853,1	16,31	20,00	0,6702
dicembre	4,60	81,5	691,0	646,7	1 337,7	1 672,1	14,70	20,00	0,6560
gennaio	2,80	78,7	587,7	710,6	1 298,3	1 622,8	14,24	20,00	0,6651
febbraio	4,70	78,2	667,7	643,2	1 310,8	1 638,5	14,39	20,00	0,6333
marzo	8,60	73,2	817,5	504,7	1 322,2	1 652,8	14,52	20,00	0,5196
aprile	12,90	65,6	975,6	352,1	1 327,6	1 659,6	14,59	20,00	0,2375

Te temperatura esterna media mensile [°C]

φ_e umidità relativa esterna [%]

Pe pressione esterna [Pa]

ΔP variazione di pressione [Pa]

Pi pressione interna [Pa]

Psi pressione di saturazione interna [Pa]

Tsi Temperatura superficiale interna [°C]

fRsi Fattore di resistenza superficiale

ESITO DELLA VERIFICA DI ASSENZA DI MUFFA

**RELAZIONE TECNICA SUL
CONSUMO ENERGETICO**

Prog.: **0073-2023**

Rev.: **00**

Data: **06/2023**

Fattore di resistenza superficiale nel mese critico
fRsi 0,918

Fattore di resistenza superficiale nel mese critico
fRsiAmm 0,670

Mese critico Novembre

ESITO VERIFICA DI CONDENSA
SUPERFICIALE frsi>frsi,max: assenza di muffa